



AKADEMIA GÓRNICZO-HUTNICZA
IM. STANISŁAWA STASZICA W KRAKOWIE

Teoria sygnałów

Wykład 9

Dr inż. Przemysław Korohoda
Katedra Elektroniki, AGH, Kraków

home.agh.edu.pl/~korohoda/rok_2022_2023_zima/TS_EL_2

UPEL: TS 2022

Temat wykładu

- 1. Transformacja Gabora.**
- 2. Krótkoczasowa transformacja Fouriera.**
- 3. Transformacja falkowa.**
- 4. Widmowa gęstość mocy i energii.**
- 5. Przetwarzanie sygnałów losowych.**
- 6. Korelacja dla sygnałów deterministycznych.**
- 7. Filtracja sygnałów o zadanej gęstości widmowej.**
- 8. Modulacja sygnałów.**

Transformacja Gabora

Dennis Gabor (1900-1979) – fizyk węgierski (mieszkał i pracował w Anglii), który za wynalezienie holografii otrzymał nagrodę Nobla (1971), zajmował się m.in. analizą czasowo-częstotliwościową.

$$X^G(f, t) = \int_{-\infty}^{+\infty} x(\tau) \cdot w(\tau - t) \cdot e^{-j \cdot 2 \cdot \pi \cdot f \cdot \tau} d\tau$$

gdzie:

$$w(t) = e^{-\pi \cdot t^2}$$

czyli okno Gaussa:

$$w(t) = e^{-\pi \cdot t^2} \xleftrightarrow[\text{ICFT}]{\text{CFT}} W(f) = e^{-\pi \cdot f^2}$$

Transformacja odwrotna:

$$x(t) = \int_{-\infty}^{+\infty} X^G(f, t) \cdot e^{+j \cdot 2 \cdot \pi \cdot f \cdot t} df$$

– jeden punkt nad osią t jest reprezentowany przez całą funkcję nad osią f , ponieważ dla każdego punktu t może być inna funkcja nad osią f

... widać nadmiarowość ?

W innym zapisie:

$$X^G(f, t) = \int_{-\infty}^{+\infty} x(\tau) \cdot \phi_t(f, \tau) d\tau$$

gdzie: $\phi_t(f, \tau) = e^{-\pi \cdot (\tau - t)^2 - j \cdot 2 \cdot \pi \cdot f \cdot \tau}$

Transformacja Gabora

$$X^G(f, t) = \int_{-\infty}^{+\infty} x(\tau) \cdot w(\tau - t) \cdot e^{-j \cdot 2 \cdot \pi \cdot f \cdot \tau} d\tau$$

$$w(t) = e^{-\pi \cdot t^2}$$

$$x(t) = \cos(2 \cdot \pi \cdot f_0 \cdot t)$$

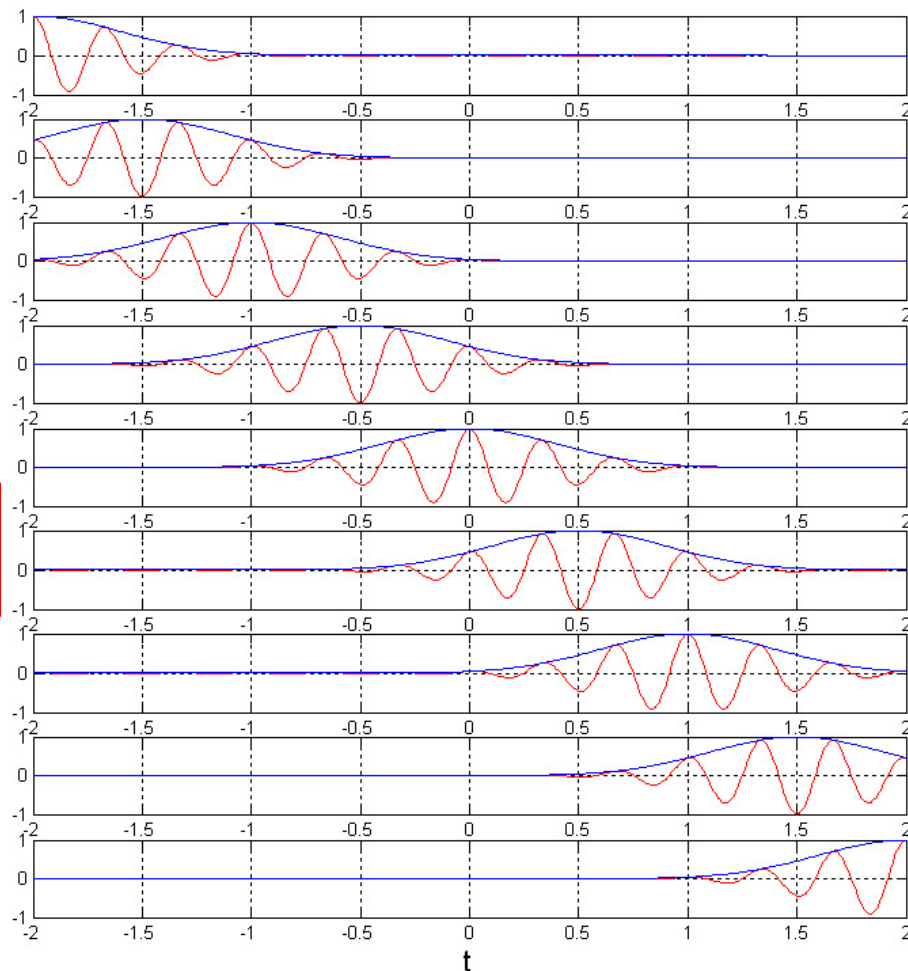
$$f_0 = 3\text{Hz}$$

$$X^G(f, t_0) = X_0(f) \Big|_{x_0(t) = x(t) \cdot w(t - t_0)}$$

$$X_0(f) = CFT[x_0(t)]$$

$$w(0) = 1 \Rightarrow x_0(t_0) = x(t_0)$$

$$x(t) \Big|_{t=t_0} = CFT^{-1} \left[X^G(f, t_0) \right]$$



Transformacja Gabora

Nadmiarowość !

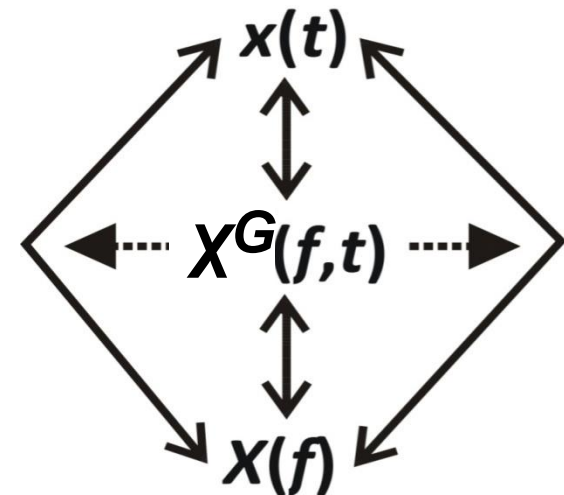
$$X^G(f, t) = \int_{-\infty}^{+\infty} x(\tau) \cdot w(\tau - t) \cdot e^{-j \cdot 2 \cdot \pi \cdot f \cdot \tau} d\tau$$

$$x(t) = \int_{-\infty}^{+\infty} X^G(f, t) \cdot e^{+j \cdot 2 \cdot \pi \cdot f \cdot t} df$$

lub, w nieco innym zapisie (bez całek):

$$X^G(f, t) = CFT_{\tau \rightarrow f} [x(\tau) \cdot w(\tau - t)]$$

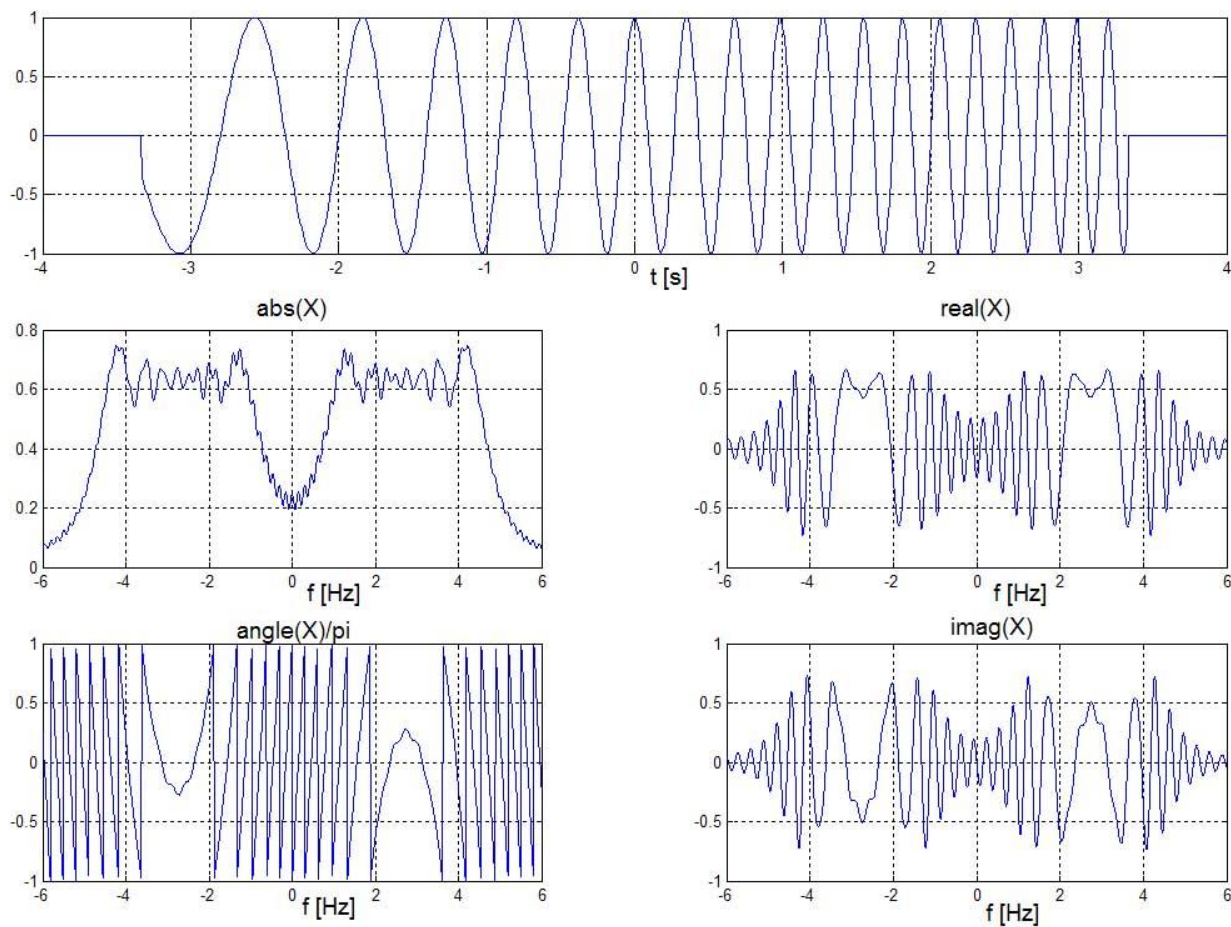
$$x(t) = CFT_{f \rightarrow t}^{-1} [X^G(f, t)]$$



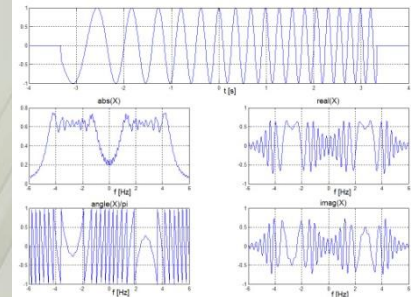
Czyli transformatę Gabora można wyliczyć od strony $x(t)$ i od strony $X(f)$

Transformacja Gabora

Przykładowy sygnał

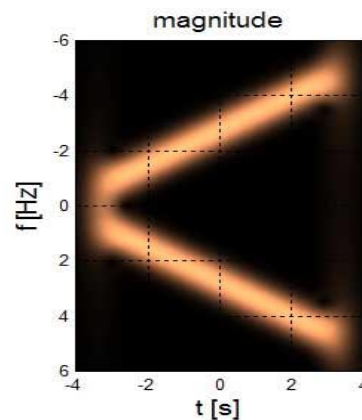
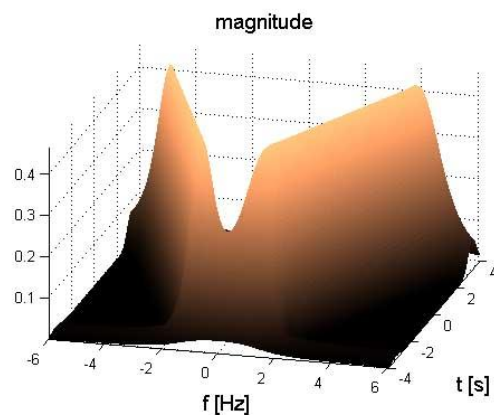


Transformacja Gabora

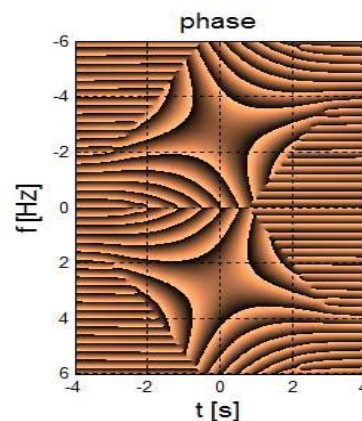
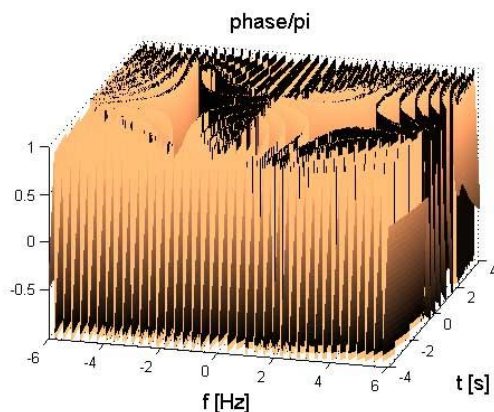


$$X^G(f, t) = \int_{-\infty}^{+\infty} x(\tau) \cdot w(\tau - t) \cdot e^{-j \cdot 2 \cdot \pi \cdot f \cdot \tau} d\tau$$

$$X^G(f, t) = CFT_{\tau \rightarrow f} [x(\tau) \cdot w(\tau - t)]$$



$$x(t) = \int_{-\infty}^{+\infty} X^G(f, t) \cdot e^{+j \cdot 2 \cdot \pi \cdot f \cdot t} df$$



$$x(t) = CFT_{f \rightarrow t}^{-1} [X^G(f, t)]$$

Transformacja Gabora

- zmiana rozdzielczości

$$X^G(f, t) = \int_{-\infty}^{+\infty} x(\tau) \cdot w_a(\tau - t) \cdot e^{-j \cdot 2 \cdot \pi \cdot f \cdot \tau} d\tau$$

$$w_a(t) = \frac{1}{a} \cdot w\left(\frac{t}{a}\right)$$

$$a > 0$$

$$w(t) = e^{-\pi \cdot t^2}$$

Nadal zachodzi:

$$\int_{-\infty}^{+\infty} w_a(t) dt = 1$$

$$w_a(t) = \frac{1}{a} \cdot e^{-\frac{\pi \cdot t^2}{a^2}}$$

$$x\left(\frac{t}{a}\right) \xleftrightarrow[ICFT]{CFT} |a| \cdot X(a \cdot f)$$

Do dziedziny transformaty Gabora można zatem dołożyć trzecią zmienną:

$$X^G(f, t, a) = \int_{-\infty}^{+\infty} x(\tau) \cdot w_a(\tau - t) \cdot e^{-j \cdot 2 \cdot \pi \cdot f \cdot \tau} d\tau$$

Lokalna (krótco-czasowa) Ciągła Transformacja Fouriera (ang. *ST-CFT* lub: *STFT*)

Przyjmujemy okno $w(t)$ - jest to zazwyczaj parzysta funkcja rzeczywista, a wtedy:

$$X^W(f, t) = \int_{-\infty}^{+\infty} x(\tau) \cdot w(\tau - t) \cdot e^{-j \cdot 2 \cdot \pi \cdot f \cdot \tau} d\tau$$

... ponownie widać ogromną nadmiarowość!

Transformata CFT iloczynu sygnałów to spłot ich transformat w dziedzinie f :

$$X^W(f, t) = X(f) * [W(f) \cdot e^{-j \cdot 2 \cdot \pi \cdot f \cdot t}]$$

Zatem z def. spłotu:

$$X^W(f, t) = \int_{-\infty}^{+\infty} X(v + f) \cdot W(v) \cdot e^{+j \cdot 2 \cdot \pi \cdot v \cdot t} dv$$

**$W(f)$ – parzyste,
zatem możemy
podstawić
-v zamiast v**

A jest to przecież ICFT z iloczynu transformat (z dziedziny v do t), zatem:

$$X^W(f, t) = \left[x(t) \cdot e^{-j \cdot 2 \cdot \pi \cdot f \cdot t} \right] * w(t)$$

Analogicznie dla transformacji Gabora, bo jest to przypadek szczególny tych rozważań.

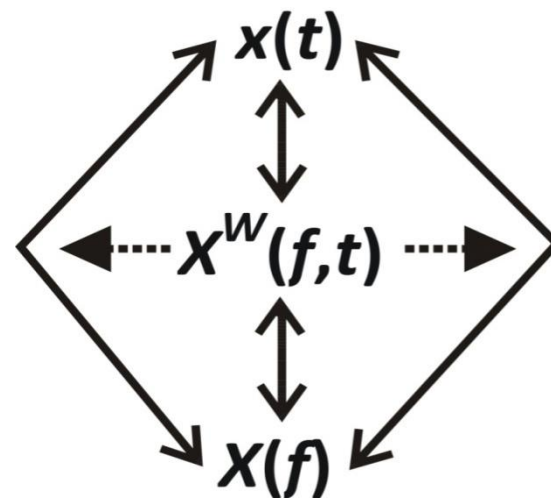
Lokalna (krótco-czasowa) Ciągła Transformacja Fouriera (*ang. ST-CFT* lub w skrócie: *STFT*)

$$X^W(f, t) = \int_{-\infty}^{+\infty} x(\tau) \cdot w(t - \tau) \cdot e^{-j \cdot 2 \cdot \pi \cdot f \cdot \tau} d\tau$$

$$X^W(f, t) = \int_{-\infty}^{+\infty} X(v + f) \cdot W(v) \cdot e^{+j \cdot 2 \cdot \pi \cdot v \cdot t} dv$$

lub (z przemienności splotu):

$$X^W(f, t) = e^{-j \cdot 2 \cdot \pi \cdot f \cdot t} \cdot \int_{-\infty}^{+\infty} X(v) \cdot W(v - f) \cdot e^{+j \cdot 2 \cdot \pi \cdot v \cdot t} dv$$



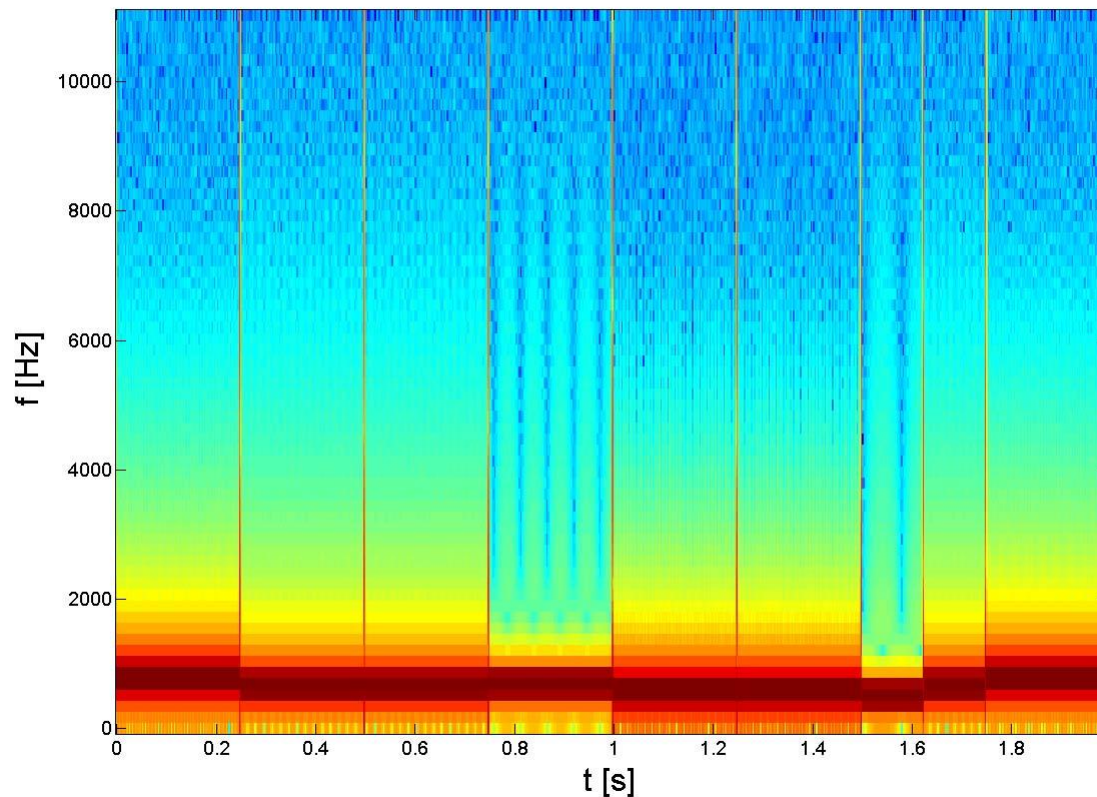
Transformacja odwrotna:

$$x(t) = \frac{1}{w(0)} \cdot \int_{-\infty}^{+\infty} X^W(f, t) \cdot e^{+j \cdot 2 \cdot \pi \cdot f \cdot t} df$$

$$X(f) = \frac{1}{W(0)} \cdot \int_{-\infty}^{+\infty} X^W(f, t) dt$$

Lokalna analiza częstotliwościowa

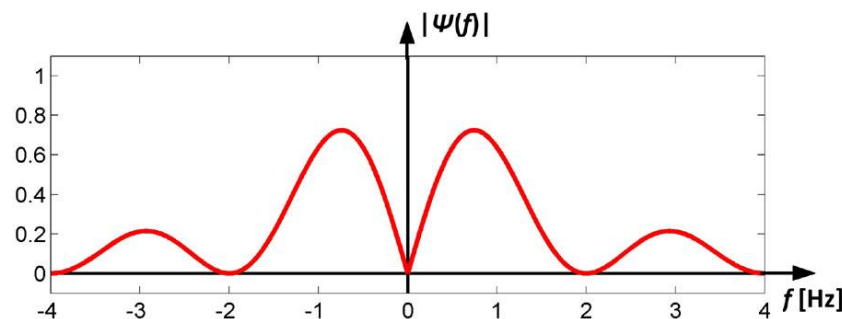
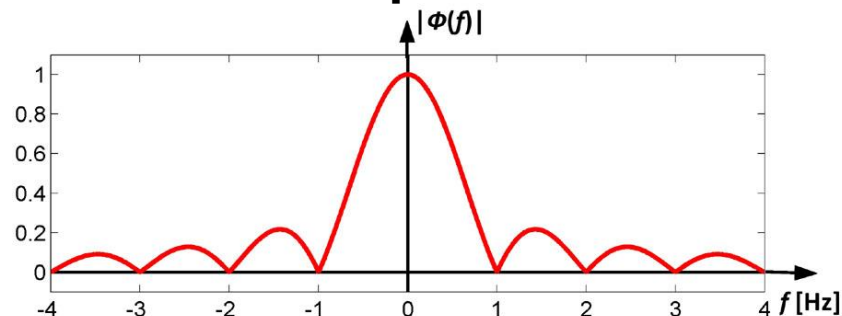
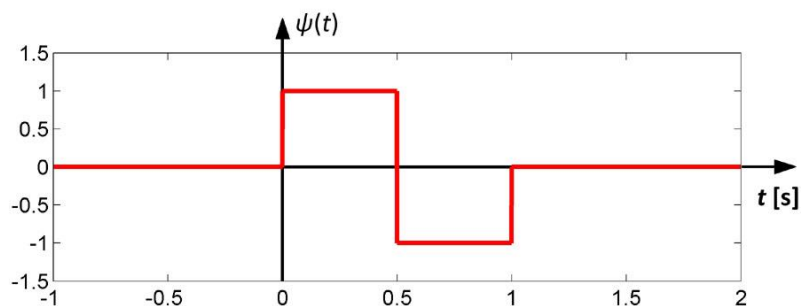
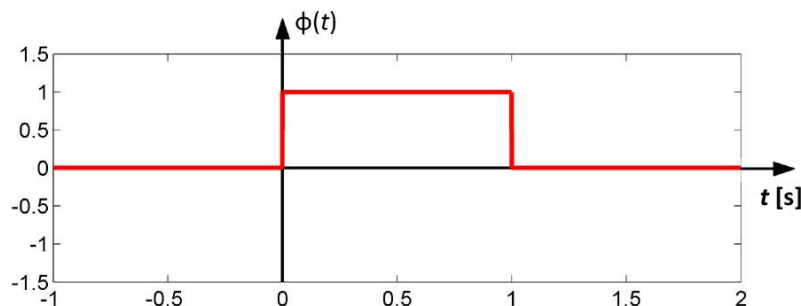
Przykład dla prostej melodii (wykres pokazuje tylko moduł)



Uwaga - wykres powstał dla danych wynikowych „nieco” zdyskretyzowanych.

Transformacja falkowa

Baza Haara, funkcja skalująca i falka oraz ich widma amplitudowe:



$$h_{\phi}(t) = \phi(-t) \Rightarrow H_{\phi}(f) = \Phi(-f) = \overline{\Phi(f)}$$

$$\Phi(f) = \text{sinc}(\pi \cdot f) \cdot e^{-j \cdot \pi \cdot f}$$

$$h_{\psi}(t) = \psi(-t) \Rightarrow H_{\psi}(f) = \Psi(-f) = \overline{\Psi(f)}$$

$$\Psi(f) = j \cdot \pi \cdot f \cdot \frac{1}{2} \cdot \text{sinc}^2\left(\frac{1}{2} \cdot \pi \cdot f\right) \cdot e^{-j \cdot \pi \cdot f}$$

Transformacja falkowa (ciągła)

(ang. CWT: Continuous Wavelet Transform)

Przyjmujemy filtr o zerowej wartości średniej, pasmowo-przepustowy:

$$h_{\psi}(t) \in L^2(\mathbf{R})$$

$$H_{\psi}(0) = 0 \Leftrightarrow \int_{-\infty}^{+\infty} h_{\psi}(t) dt = 0$$

Transformacja w przód:

$$\tilde{x}_{\psi}(a, t) = \frac{1}{\sqrt{a}} \cdot \int_{-\infty}^{+\infty} x(\tau) \cdot h_{\psi}\left(\frac{t-\tau}{a}\right) d\tau$$

$$x(t) \in L^2(\mathbf{R}); \quad a \in \mathbf{R}_+$$

Transformacja odwrotna:

$$x(t) = \frac{1}{c_{\psi}} \cdot \int_0^{+\infty} \frac{1}{a^2 \cdot \sqrt{a}} \cdot \int_{-\infty}^{+\infty} \tilde{x}_{\psi}(a, \tau) \cdot \psi\left(\frac{t-\tau}{a}\right) d\tau da$$

$$\psi(t) = h_{\psi}(-t)$$

Przy czym (co daje dodatkowy warunek dla filtru):

$$c_{\psi} = 2 \cdot \int_0^{+\infty} \frac{|H_{\psi}(f)|^2}{f} df < \infty$$

lub

$$c_{\psi} = 2 \cdot \int_0^{+\infty} \frac{|\Psi(f)|^2}{f} df < \infty$$

Transformacja falkowa (ciągła)

Interpretacja spłotowa:

$$\tilde{x}_{\psi}(a, t) = \frac{1}{\sqrt{a}} \cdot \int_{-\infty}^{+\infty} x(\tau) \cdot h_{\psi}\left(\frac{t-\tau}{a}\right) d\tau$$

$$\tilde{x}_{\psi}(a, t) = \frac{1}{\sqrt{a}} \cdot x(t) * h_{\psi}\left(\frac{t}{a}\right)$$

filtr analizujący

$$x(t) = \frac{1}{c_{\psi}} \cdot \int_0^{+\infty} \frac{1}{a^2 \cdot \sqrt{a}} \cdot \int_{-\infty}^{+\infty} \tilde{x}_{\psi}(a, \tau) \cdot \psi\left(\frac{t-\tau}{a}\right) d\tau da$$

$$x(t) = \frac{1}{c_{\psi}} \cdot \int_0^{+\infty} \frac{1}{a^2 \cdot \sqrt{a}} \cdot \left[\tilde{x}_{\psi}(a, t) * \psi\left(\frac{t}{a}\right) \right] da$$

$$\psi(t) = h_{\psi}(-t)$$

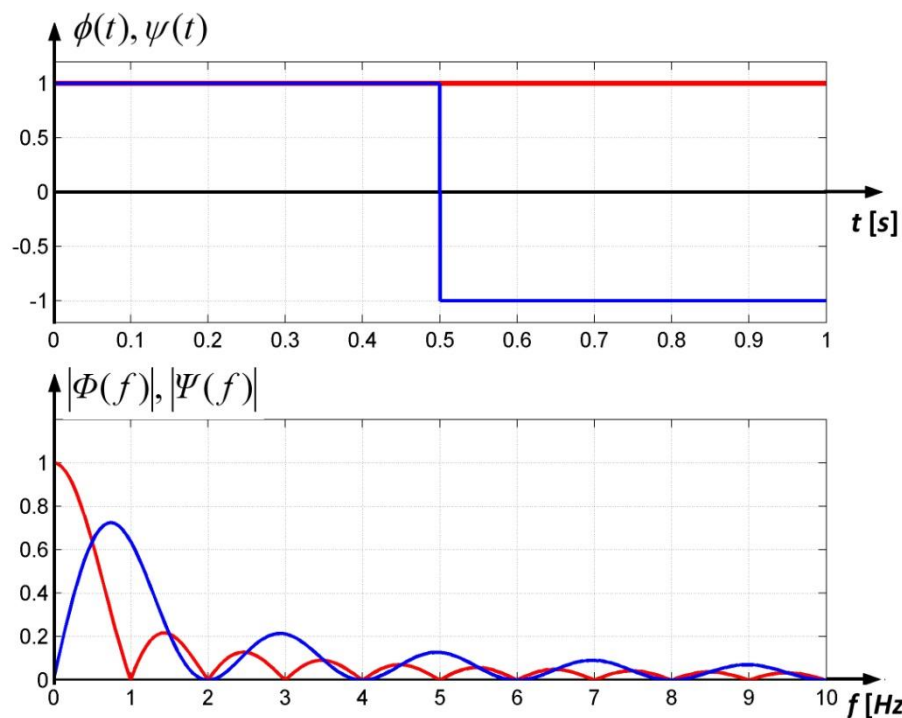
filtr odtwarzający

... widać ogromną nadmiarowość!

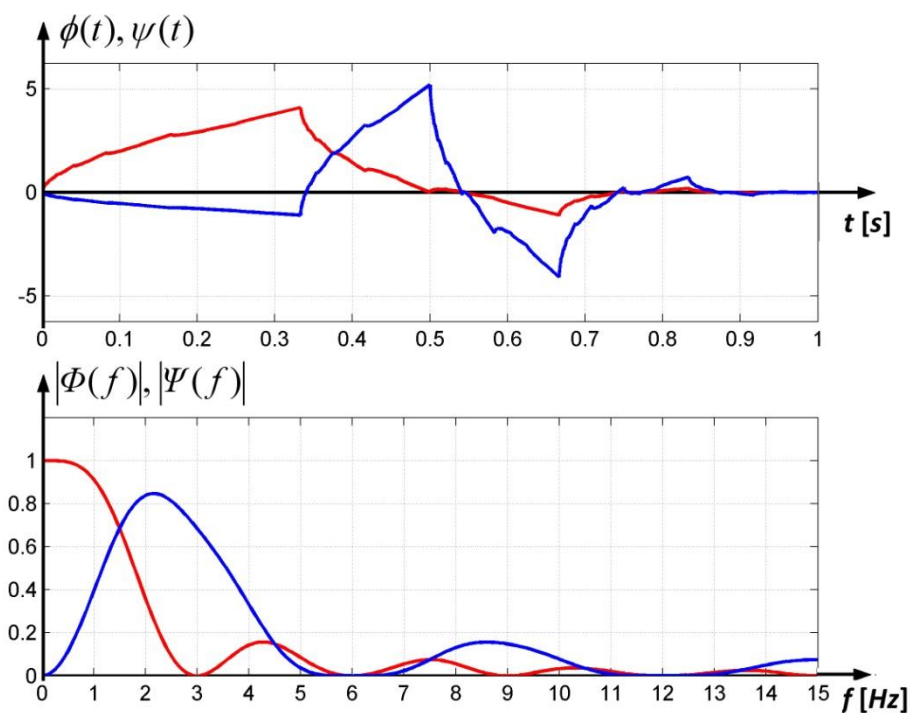
Zatem funkcja skalująca nie jest do niczego potrzebna (?)

Funkcje falkowe (falki) i funkcje skalujące

**Dla falki Haara
(falka 1. wg I.Daubechies):**



Dla falki 2. wg I.Daubechies:



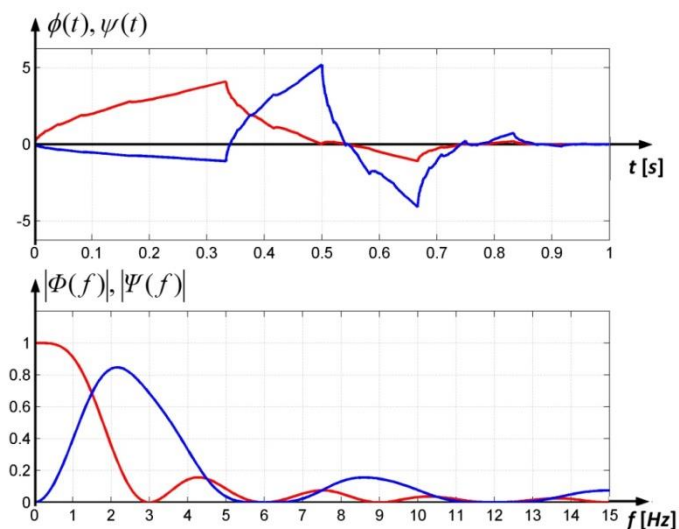
Jest wiele różnych falek (i odpowiednich dla nich funkcji skalujących). 15

Funkcje falkowe (falki) i funkcje skalujące

Powtórzymy:

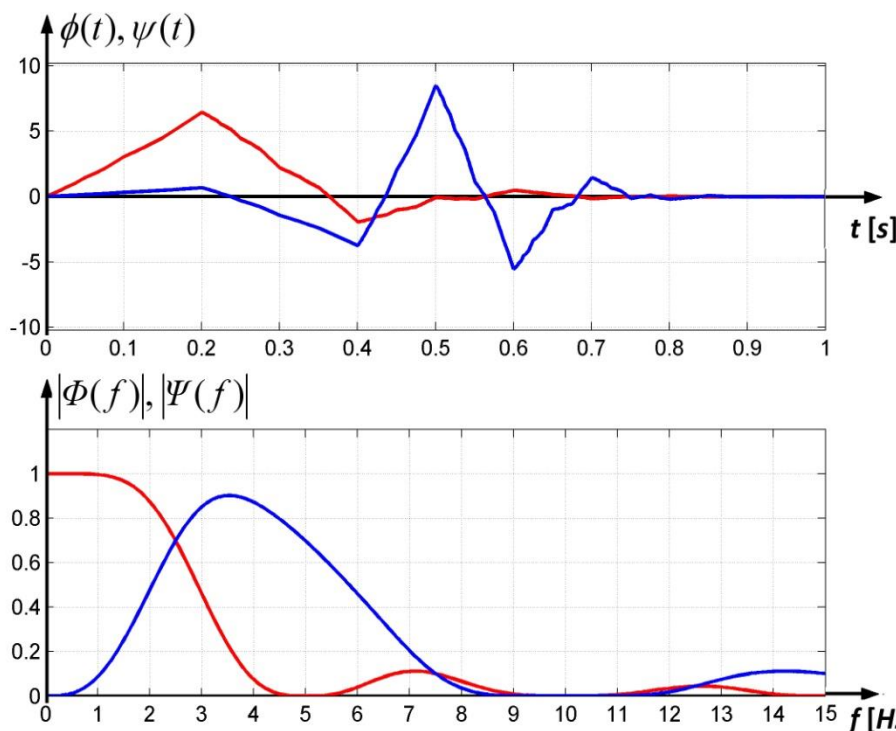
funkcja skalująca \leftrightarrow filtr dolnoprzepustowy

funkcja falkowa \leftrightarrow filtr pasmowo-przepustowy

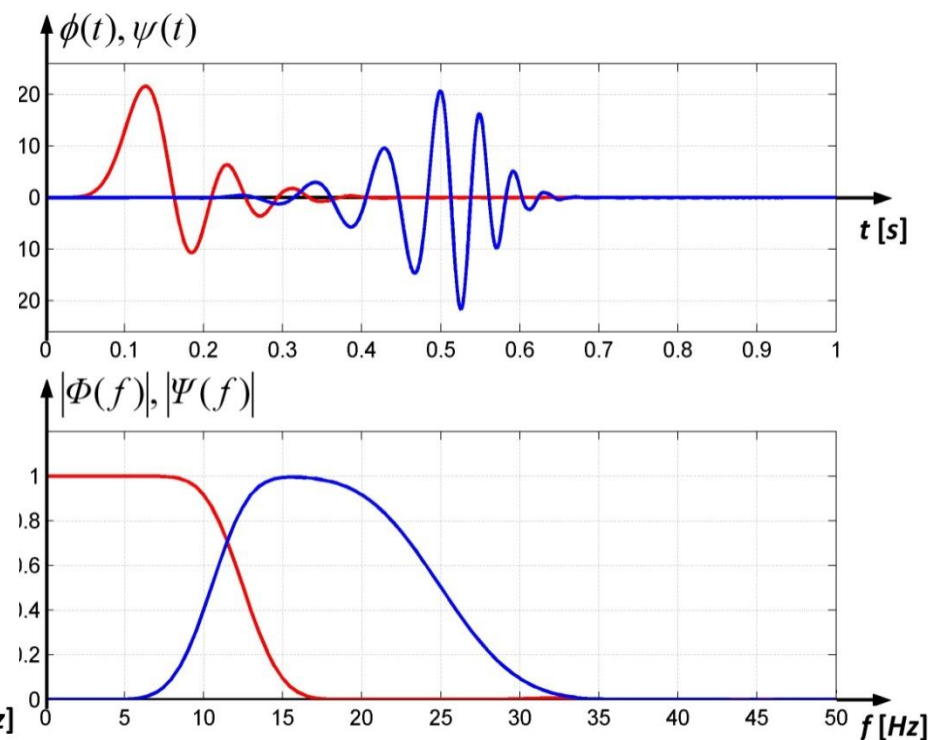


Funkcje falkowe (falki) i funkcje skalujące

Dla falki 3. wg I.Daubechies:

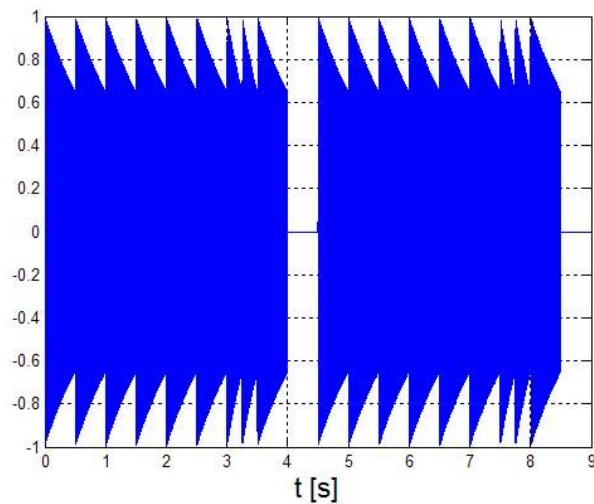


Dla falki 12. wg I.Daubechies:

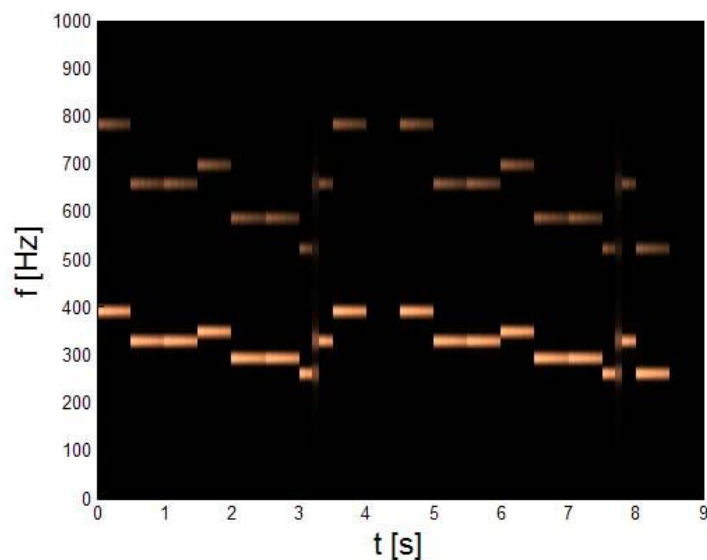
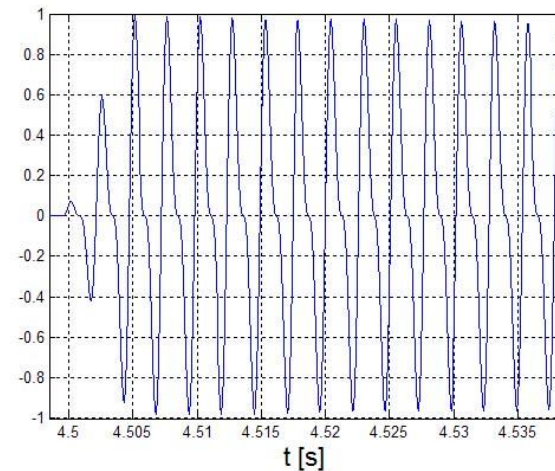


Jest wiele różnych falek (i odpowiednich dla nich funkcji skalujących). 17

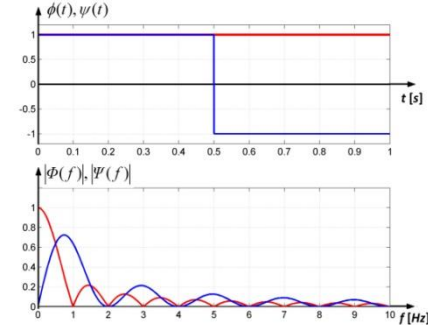
Przykład: sygnał i transformata STFT, z oknem Hanna



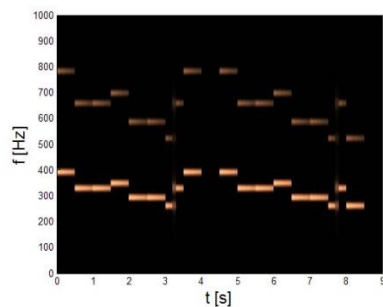
Sygnał – „melodyjka”



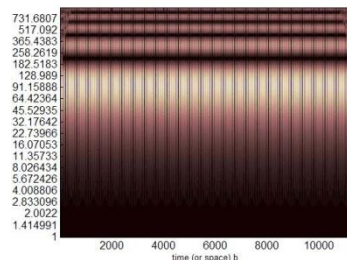
Falka nr 1, test cosinusoidy



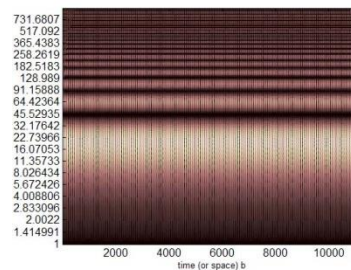
STFT



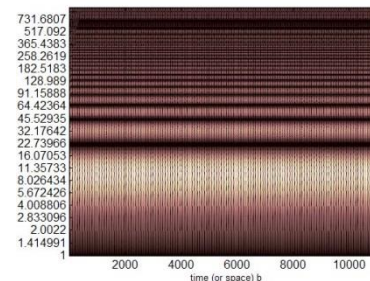
100Hz



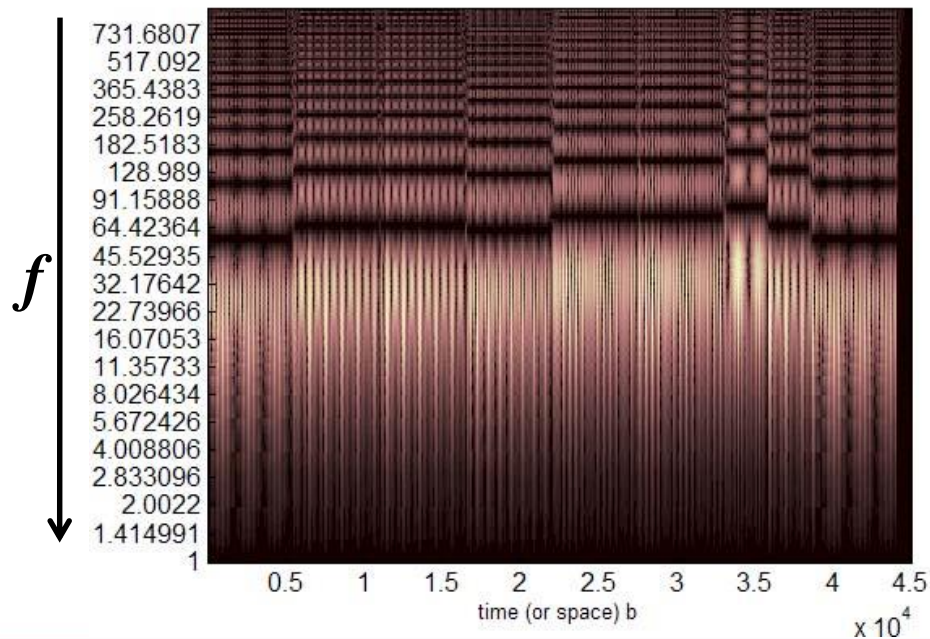
500Hz



1000Hz

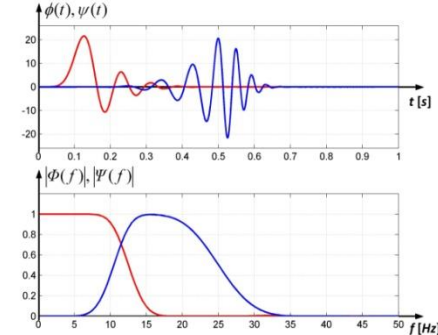


a

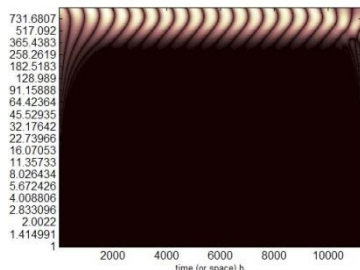


... i wynik dla naszej melodii.

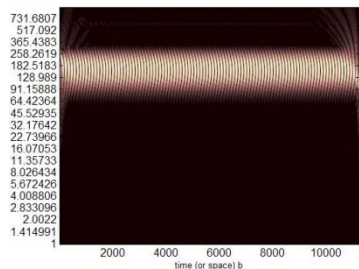
Falka nr 12, test cosinusoidy



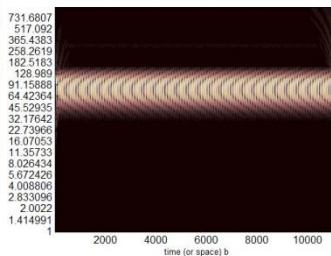
10Hz



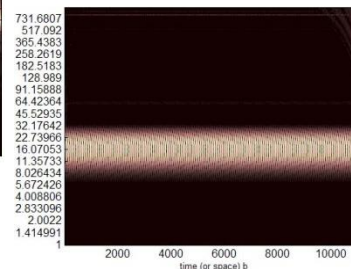
50Hz



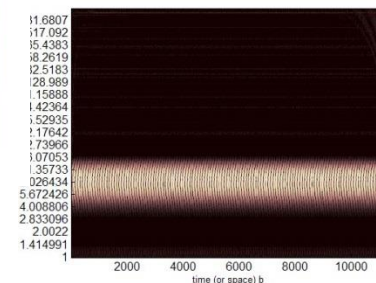
100Hz



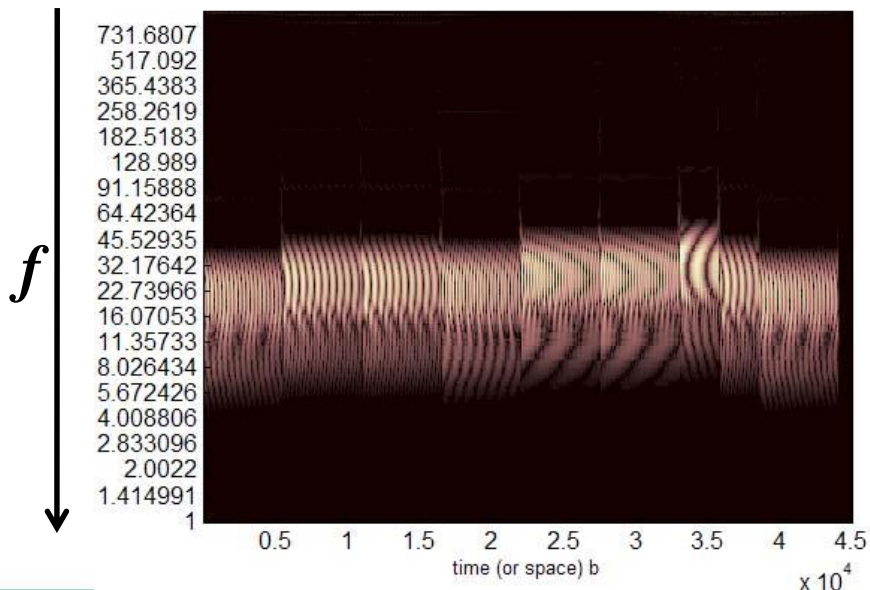
500Hz



1000Hz



a



... i wynik dla naszej melodii.

Wybrane funkcje (wybrane wartości skali)

Wybieramy ciąg filtrów (falek) na różnych poziomach k :

$$\psi_k(t) = \frac{1}{\sqrt{a_k}} \cdot \psi\left(\frac{t}{a_k}\right) : a_k = 2^k$$
$$k \in \mathbf{Z}$$

czyli:

$$\psi_k(t) = 2^{\frac{-k}{2}} \cdot \psi(2^{-k} \cdot t)$$
$$k \in \mathbf{Z}$$

$$h_\psi(t) = \psi(-t) \Rightarrow H_\psi(f) = \Psi(-f) = \overline{\Psi(f)}$$

Analogicznie możemy utworzyć ciąg funkcji skalujących:

$$\varphi_k(t) = \frac{1}{\sqrt{a_k}} \cdot \varphi\left(\frac{t}{a_k}\right) : a_k = 2^k$$
$$k \in \mathbf{Z}$$

czyli:

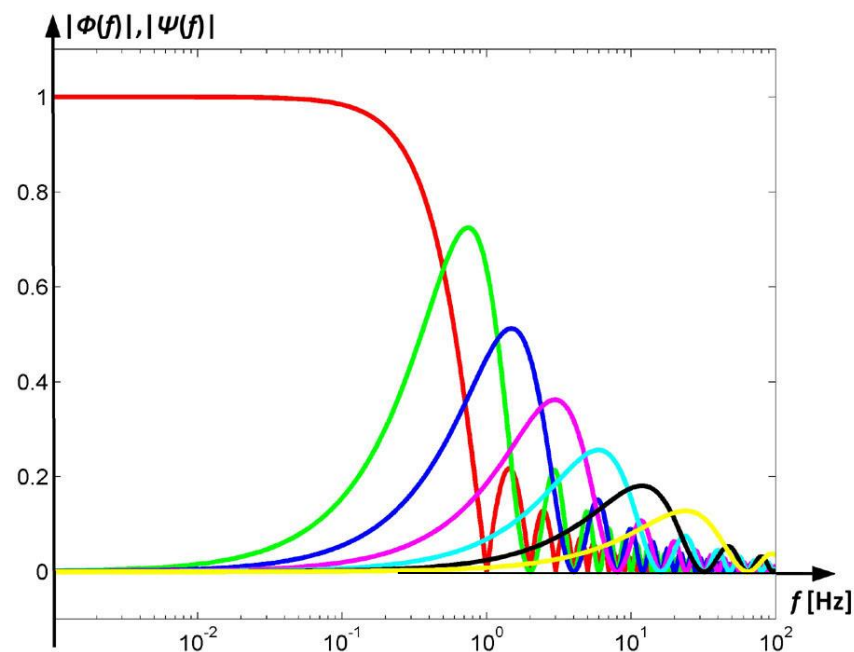
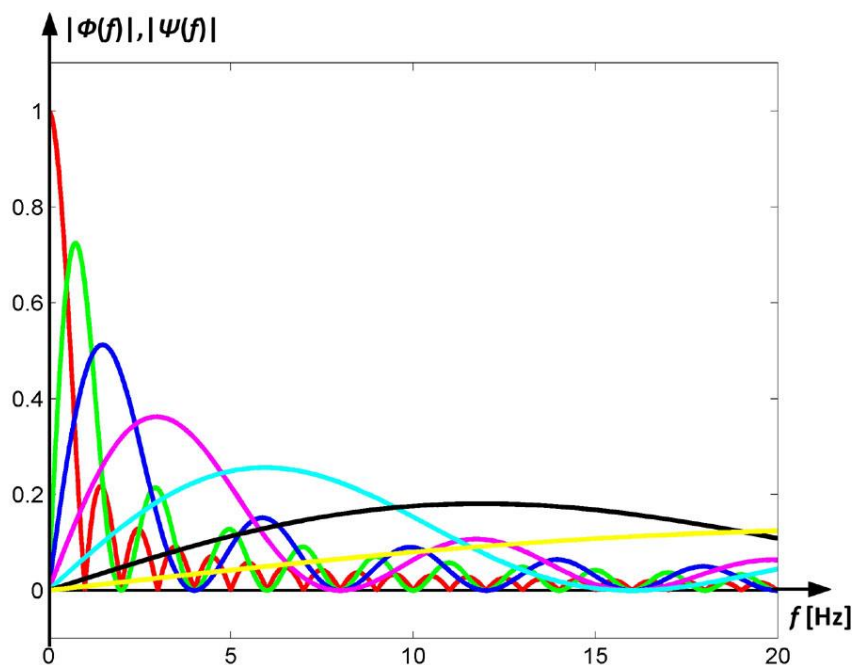
$$\varphi_k(t) = 2^{\frac{-k}{2}} \cdot \varphi(2^{-k} \cdot t)$$
$$k \in \mathbf{Z}$$

$$h_\varphi(t) = \varphi(-t) \Rightarrow H_\varphi(f) = \Phi(-f) = \overline{\Phi(f)}$$

Falki (i funkcje skalujące) są unormowane w dziedzinie czasu.

Widma amplitudowe ciągu funkcji (filtrów)

Dla ciągu falek Haara (Daubechies nr 1) i jednej funkcji skalującej:



Funkcja skalująca dla $k=0$, a następnie ciąg falek dla kolejnych k , liczonych „w dół”, czyli: 0, -1, -2, -3, -4, ...

Widać, że w tym przypadku nie można „ładnie” podzielić przedziałów częstotliwości, za to funkcje (filtry) są bardzo proste.

Wybrane funkcje (wybrane wartości skali) - wersja bez normalizacji

Wybieramy ciąg filtrów (falek) na różnych poziomach k :

$$\psi_k(t) = \frac{\sqrt{2}}{a_k} \cdot \psi\left(\frac{t}{a_k}\right) : a_k = 2^k$$
$$k \in \mathbf{Z}$$

czyli:

$$\psi_k(t) = \frac{\sqrt{2}}{2^k} \cdot \psi(2^{-k} \cdot t)$$
$$k \in \mathbf{Z}$$

$$h_\psi(t) = \psi(-t) \Rightarrow H_\psi(f) = \Psi(-f) = \overline{\Psi(f)}$$

Analogicznie możemy utworzyć ciąg funkcji skalujących:

$$\varphi_k(t) = \frac{\sqrt{2}}{a_k} \cdot \varphi\left(\frac{t}{a_k}\right) : a_k = 2^k$$
$$k \in \mathbf{Z}$$

czyli:

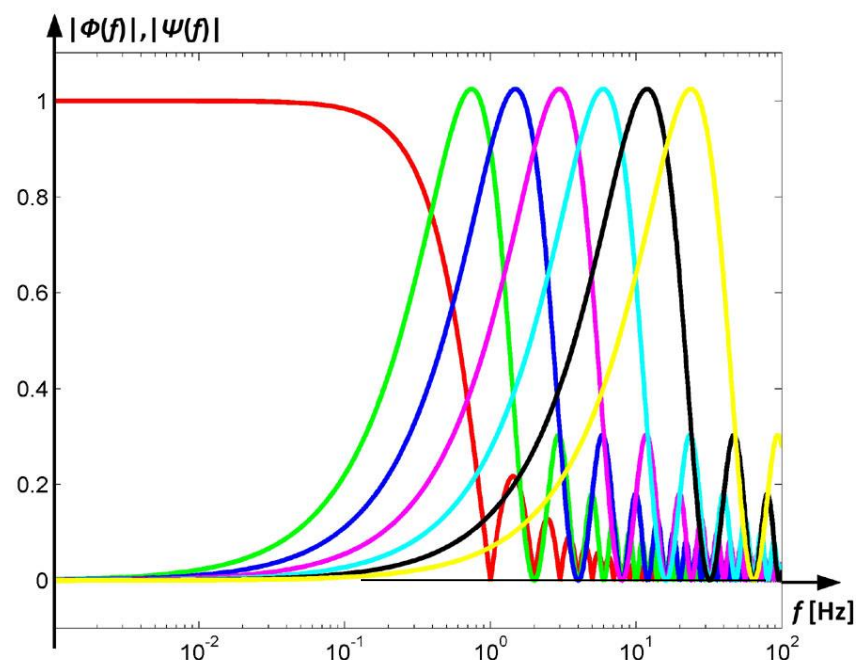
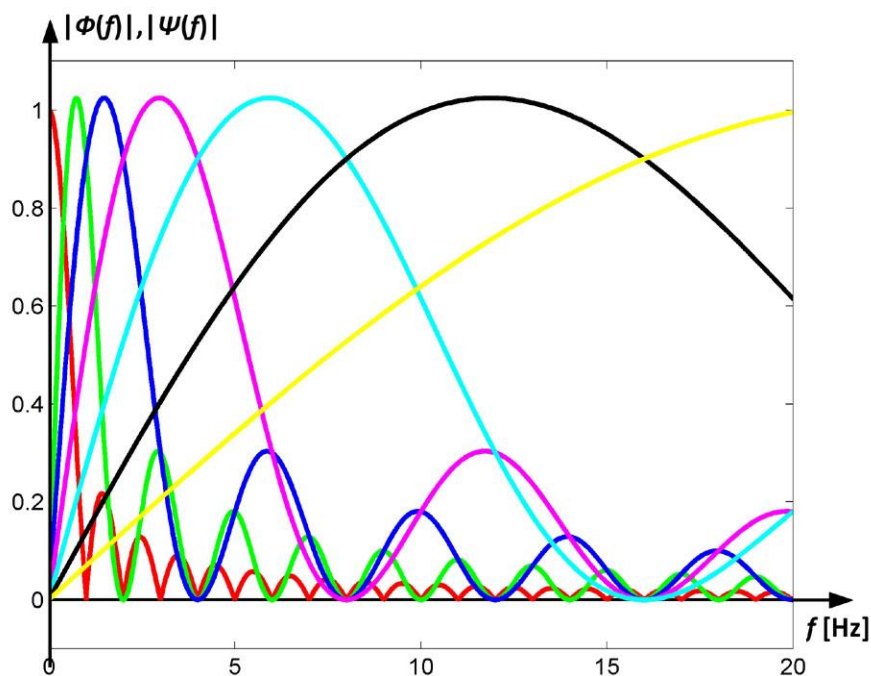
$$\varphi_k(t) = \frac{\sqrt{2}}{2^k} \cdot \varphi(2^{-k} \cdot t)$$
$$k \in \mathbf{Z}$$

$$h_\varphi(t) = \varphi(-t) \Rightarrow H_\varphi(f) = \Phi(-f) = \overline{\Phi(f)}$$

Falki i funkcje skalujące nie są już unormowane w dziedzinie czasu.

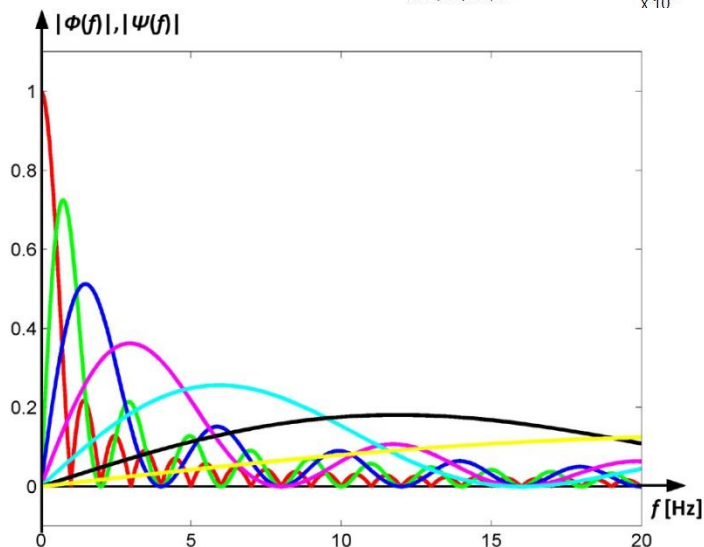
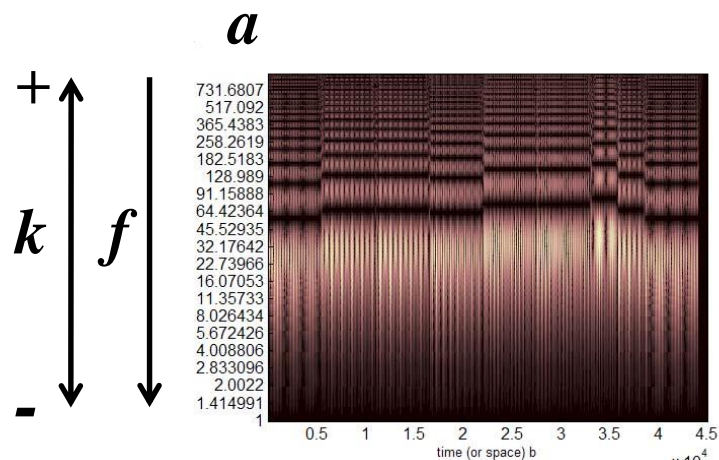
Widma amplitudowe ciągu funkcji (filtrów)

Zmodyfikowany ciąg falek Haara (nieunormowanych) i funkcja skalująca:



Funkcja skalująca dla $k=0$, a następnie ciąg falek dla kolejnych (licząc „w dół”) k , czyli: 0, -1, -2, -3, -4, ...

Relacje między parametrami falek



$$\psi_k(t) = \frac{1}{\sqrt{a_k}} \cdot \psi\left(\frac{t}{a_k}\right) : a_k = 2^k$$

$$k \in \mathbb{Z}$$

Czyli zapisując wprost:

$$\psi_k(t) = 2^{\frac{-k}{2}} \cdot \psi(2^{-k} \cdot t)$$

$$k \in \mathbb{Z}$$

$+\infty$



$a=2^k$



0

$+\infty$



k



$-\infty$

0



f



$+\infty$

0



Δf



$+\infty$

„szerokość”
filtru

Analogicznie dla funkcji skalujących.

Podział diadyczny

W ten sposób możemy utworzyć bazę falkową na różnych poziomach k :

$$\psi_{k,n}(t) = 2^{\frac{-k}{2}} \cdot \psi\left(2^{-k} \cdot t - n\right)$$
$$k \in \mathbf{Z}, n \in \mathbf{Z}$$

$$\psi_{k,n}(t) = 2^{\frac{-k}{2}} \cdot \psi\left(2^{-k} \cdot (t - n \cdot \Delta t)\right) \quad : \quad \Delta t = 2^k$$
$$k \in \mathbf{Z}, n \in \mathbf{Z}$$

Analogicznie możemy utworzyć układ funkcji skalujących (to także jest baza) na różnych poziomach k :

$$\varphi_{k,n}(t) = 2^{\frac{-k}{2}} \cdot \varphi\left(2^{-k} \cdot t - n\right)$$
$$k \in \mathbf{Z}, n \in \mathbf{Z}$$

(Pod)przestrzenie sygnałów

Baza falkowa:

$$\psi_{k,n}(t) = 2^{\frac{-k}{2}} \cdot \psi(2^{-k} \cdot t - n)$$

$$k \in \mathbf{Z}, n \in \mathbf{Z}$$

generuje (pod)przestrzeń W_k

Baza funkcji skalujących:

$$\varphi_{k,n}(t) = 2^{\frac{-k}{2}} \cdot \varphi(2^{-k} \cdot t - n)$$

$$k \in \mathbf{Z}, n \in \mathbf{Z}$$

generuje (pod)przestrzeń V_k

Przy czym zachodzi następująca zależność dla sumowania się (pod)przestrzeni:

$$\begin{array}{ccccccccc} \dots & \rightarrow & V_{-3} & \rightarrow & V_{-2} & \rightarrow & V_{-1} & \rightarrow & V_0 & \rightarrow & V_{+1} & \rightarrow & V_{+2} & \rightarrow & \dots \\ & & \downarrow & & \downarrow & & \downarrow & & \downarrow & & \downarrow & & \downarrow & & \\ & & W_{-2} & & W_{-1} & & W_0 & & W_{+1} & & W_{+2} & & W_{+3} & & \end{array}$$

Ogólnie:

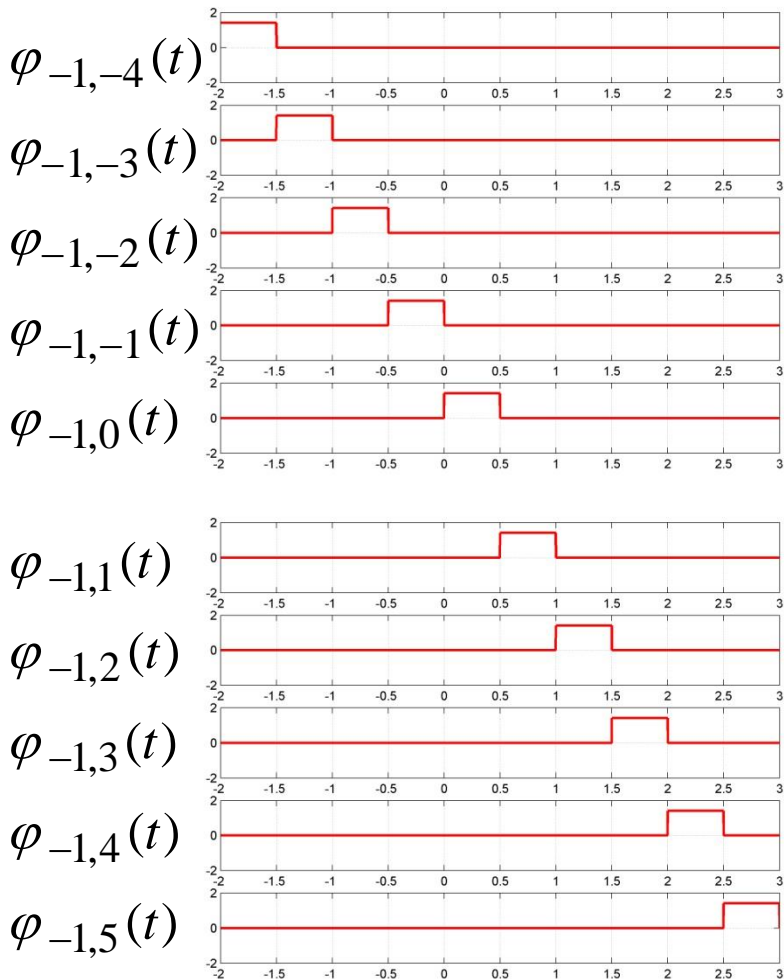
$$V_{k-1} = V_k \oplus W_k$$

ponieważ:

$$V_k \perp W_k$$

Przykład dla falek Haara

Fragment bazy dla V_{-1} :



Fragmenty baz dla V_0 i W_0 :

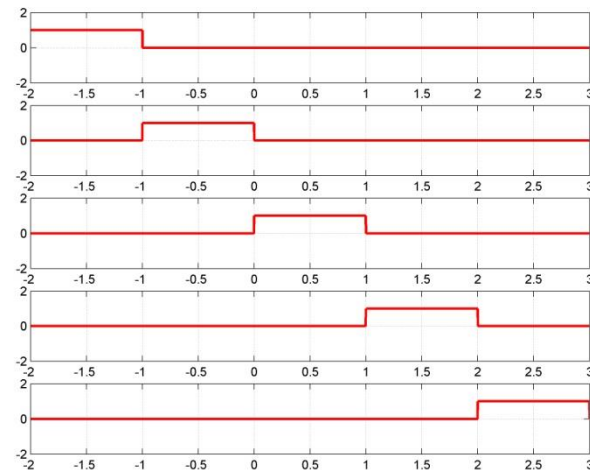
$$\varphi_{0,-2}(t)$$

$$\varphi_{0,-1}(t)$$

$$\varphi_{0,0}(t)$$

$$\varphi_{0,1}(t)$$

$$\varphi_{0,2}(t)$$



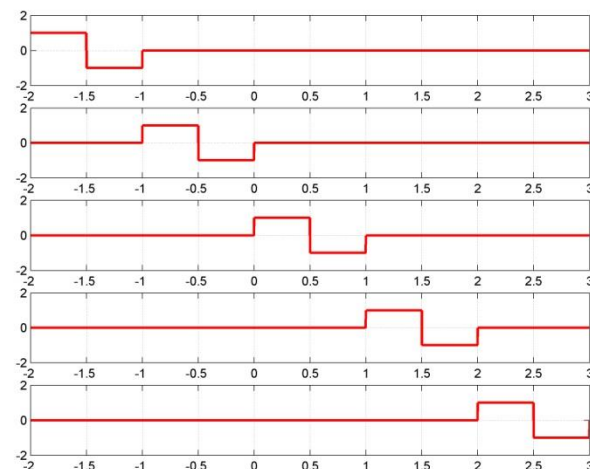
$$\psi_{0,-2}(t)$$

$$\psi_{0,-1}(t)$$

$$\psi_{0,0}(t)$$

$$\psi_{0,1}(t)$$

$$\psi_{0,2}(t)$$



Transformacja falkowa (WT)

(ciągły sygnał, dyskretna transformata)

Ogólnie:

$$\begin{array}{ccccccc}
 \dots \rightarrow V_{-3} & \rightarrow & V_{-2} & \rightarrow & V_{-1} & \rightarrow & V_0 & \rightarrow & V_{+1} & \rightarrow & V_{+2} & \rightarrow & \dots \\
 \downarrow & & \downarrow & & \downarrow & & \downarrow & & \downarrow & & \downarrow & & \\
 W_{-2} & & W_{-1} & & W_0 & & W_{+1} & & W_{+2} & & W_{+3} & &
 \end{array}$$

Przykładowo:

$$\begin{array}{ccc}
 V_{-5} & \rightarrow & V_{-4} & \rightarrow & V_{-3} \\
 \downarrow & & \downarrow & & \\
 W_{-4} & & W_{-3} & &
 \end{array}$$

$$\begin{array}{ccccccc}
 x(t) & = & (\sqrt{2})^4 \cdot \sum_{n=-\infty}^{+\infty} w_{-4,n} \cdot \psi(16 \cdot t - n) & + & (\sqrt{2})^3 \cdot \sum_{n=-\infty}^{+\infty} w_{-3,n} \cdot \psi(8 \cdot t - n) & + & (\sqrt{2})^3 \cdot \sum_{n=-\infty}^{+\infty} v_{-3,n} \cdot \varphi(8 \cdot t - n) \\
 \downarrow \in & & \downarrow \in & & \downarrow \in & & \downarrow \in \\
 V_{-5} & & W_{-4} & & W_{-3} & & V_{-3}
 \end{array}$$

Kolejne elementy powyższej sumy to sygnały wzajemnie ortogonalne.

Transformata, to w tym przypadku zestaw współczynników:

$$v_{-3,n}, \quad w_{-3,n}, \quad w_{-4,n} \quad : \quad n \in \mathbb{Z}$$

Moc i energia sygnału

Moc chwilowa wydzielana na oporze R :

$$P(t) = \frac{U^2(t)}{R}$$

Jeżeli przyjmiemy:

$$R = 1\Omega$$

$$x(t) = U(t)$$

To możemy mówić o mocy (chwilowej) i energii sygnału na odcinku T :

$$P_x(t) = |x(t)|^2 \qquad E_x(t_0, t_0 + T) = \int_{t_0}^{t_0+T} P_x(t) dt = \int_{t_0}^{t_0+T} |x(t)|^2 dt$$

Całkowita energia sygnału:

$$\mathbf{E}_x = \int_{-\infty}^{+\infty} P_x(t) dt = \int_{-\infty}^{+\infty} |x(t)|^2 dt$$

Moc średnia sygnału (uśrednienie po czasie)

Dla sygnału o skończonym czasie trwania moc średnia jest następująca:

$$P_x = \frac{1}{T} \cdot \int_{t_0}^{t_0+T} |x(t)|^2 dt \quad \text{gdy} \quad x(t) = 0 \quad \text{dla} \quad t \notin [t_0, t_0 + T]$$

Uwaga – uśrednianie jest tutaj tylko po odcinku T .

Dla sygnału okresowego ze wzorcem x_0 , określonym na okresie T :

$$P_x = \frac{1}{T} \cdot \int_{-\frac{T}{2}}^{+\frac{T}{2}} |x(t)|^2 dt = \frac{1}{T} \cdot \int_{-\frac{T}{2}}^{+\frac{T}{2}} |x_0(t)|^2 dt$$

...z wykorzystaniem współczynników szeregu Fouriera:

$$P_x = \frac{1}{T} \cdot \int_{t_0}^{t_0+T} |x(t)|^2 dt = \sum_{n=-\infty}^{+\infty} |c_n|^2$$

...a co gdy sygnał nie jest okresowy?

$$P_x = \lim_{T \rightarrow \infty} \frac{1}{T} \cdot \int_{t_0}^{t_0+T} |x(t)|^2 dt$$

Co jednak może nie dać skończonego wyniku...

Widmowa gęstość mocy

Dla sygnału okresowego $x(t)$ ze wzorcem okresu $x_0(t)$:

(gdy $x_0(t)$ jest określone jedynie na okresie T)

$$X_0(f) = \int_{-T/2}^{+T/2} x_0(t) \cdot e^{-j \cdot 2 \cdot \pi \cdot f \cdot t} dt = \int_{-T/2}^{+T/2} x(t) \cdot e^{-j \cdot 2 \cdot \pi \cdot f \cdot t} dt$$

z tw. Parsevala (o zachowaniu energii przez CFT):

$$\int_{-T/2}^{+T/2} |x(t)|^2 dt = \int_{-\infty}^{+\infty} |X_0(f)|^2 df$$

$$P_x(f) = \frac{1}{T} |X_0(f)|^2 \left[\frac{W}{Hz} \right]$$

$$P_x(f) = \frac{1}{T} \cdot \left(\text{Re}^2[X_0(f)] + \text{Im}^2[X_0(f)] \right) = \frac{1}{T} \cdot X_0(f) \cdot \overline{X_0(f)} \left[\frac{W}{Hz} \right]$$

Dla dowolnego sygnału $x(t)$:

$$X_T(f) = \int_{-T/2}^{+T/2} x(t) \cdot e^{-j \cdot 2 \cdot \pi \cdot f \cdot t} dt$$

$$\int_{-T/2}^{+T/2} |x(t)|^2 dt = \int_{-\infty}^{+\infty} |X_T(f)|^2 df$$

$$P_x(f) = \lim_{T \rightarrow \infty} \frac{1}{T} |X_T(f)|^2 \left[\frac{W}{Hz} \right]$$

O ile ten wynik jest skończony...

Moc średnia:

$$\mathbf{P}_x = \int_{-\infty}^{+\infty} P_x(f) df$$

Widmowa gęstość mocy

Zestawienie wzorów:

Okresowy sygnał:

$$P_x(f) = \frac{1}{T} |X_0(f)|^2 \quad \left[\frac{W}{Hz} \right]$$

Dowolny sygnał:

$$P_x(f) = \lim_{T \rightarrow \infty} \frac{1}{T} |X_T(f)|^2 \quad \left[\frac{W}{Hz} \right]$$

$$P_x(\omega) = \frac{1}{T} |X_0(\omega)|^2 \quad \left[\frac{W}{rad/s} \right]$$

$$P_x(\omega) = \lim_{T \rightarrow \infty} \frac{1}{T} |X_T(\omega)|^2 \quad \left[\frac{W}{rad/s} \right]$$

Moc średnia:

$$P_x = \frac{1}{2 \cdot \pi} \cdot \int_{-\infty}^{+\infty} P_x(\omega) d\omega = \int_{-\infty}^{+\infty} P_x(f) df \quad [W]$$

Widmowa gęstość energii

$$E_x(f) = |X(f)|^2 \left[\frac{J}{Hz} \right]$$

$$E_x(\omega) = |X(\omega)|^2 \left[\frac{J}{rad/s} \right]$$

Energia całkowita:

$$\mathbf{E}_x = \frac{1}{2 \cdot \pi} \cdot \int_{-\infty}^{+\infty} E_x(\omega) d\omega = \int_{-\infty}^{+\infty} E_x(f) df \quad [J]$$

Proces losowy (stochastyczny)

$\hat{x}(t) : p_t(x)$ funkcja rozkładu gęstości prawdopodobieństwa dla zmiennej losowej ciągłej
(lub prawdopodobieństwo - dla zmiennej losowej dyskretnej)

zależy od dwóch zmiennych:
 x – wartości zmiennej losowej;
 t – chwili czasu.

$$\int_{-\infty}^{+\infty} p_t(x) dx = 1$$

Sygnał powstaje jako k -ta realizacja procesu losowego:

$$\hat{x}(t) \Big|_k = x(t)$$

Przykłady: sygnał stały, sygnał okresowy, sygnał fluktuacyjny.

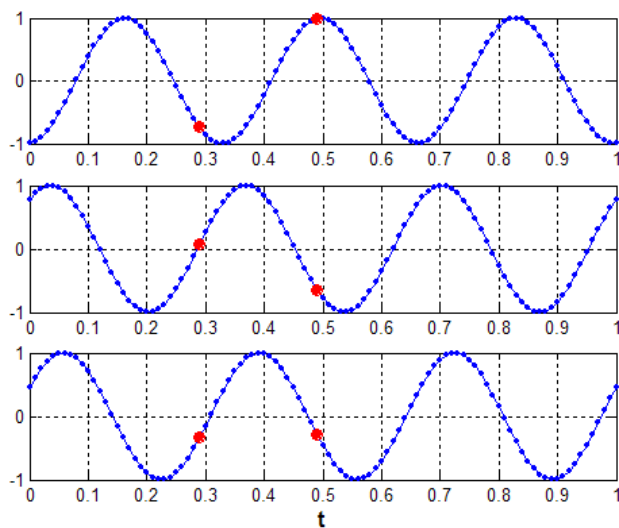
**W części dotyczącej procesów losowych zakładamy,
że proces jest rzeczywisty (tzn. o zerowej części urojonej),
chyba że będzie określone inaczej.**

Przykład: okresowy sygnał losowy

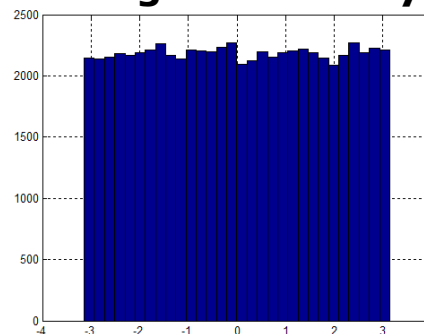
$$\hat{x}(t) = \cos(2 \cdot \pi \cdot f_0 \cdot t - \hat{\varphi}_0)$$

$$\varphi_0 \in [-\pi, \pi)$$

Trzy realizacje procesu

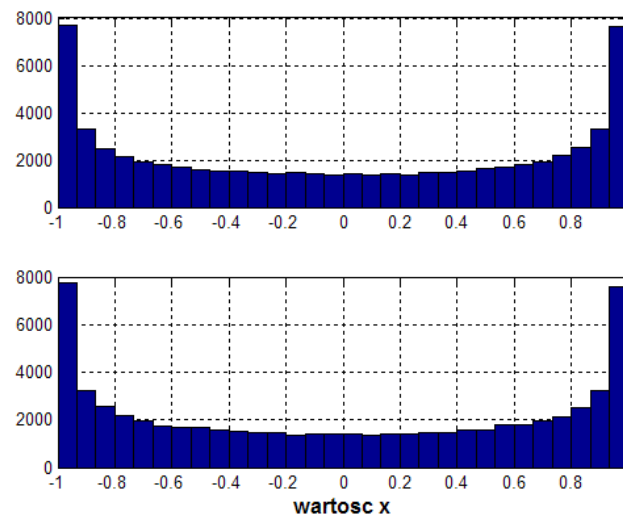


Histogram dla fazy



```
N=2^16;
p=rand(1,N)*2*pi-pi;
...
x=cos(2*pi*f0*t-p(n));
```

Rozkłady (histogramy) dla dwóch przykładowych punktów t

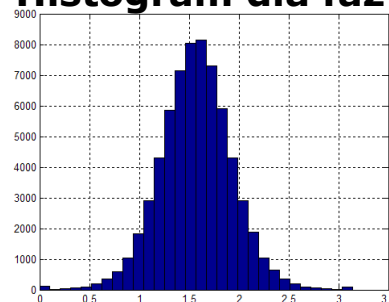


Inny przykład (nr 2)

$$\hat{x}(t) = \cos(2 \cdot \pi \cdot f_0 \cdot t - \hat{\varphi}_0)$$

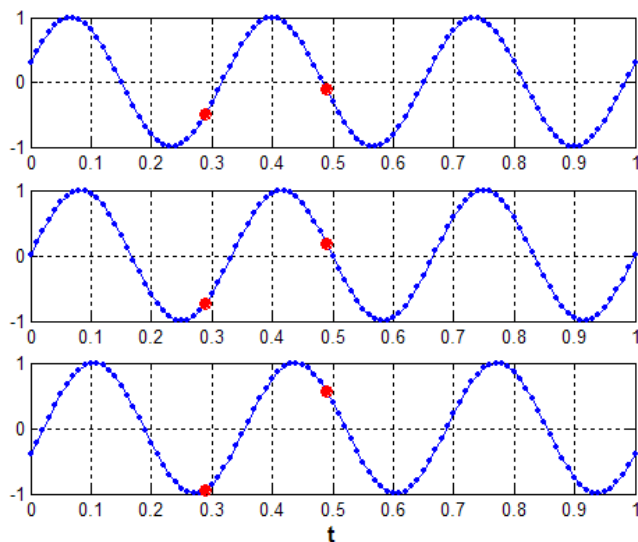
$$\varphi_0 \in [0, \pi)$$

Histogram dla fazy

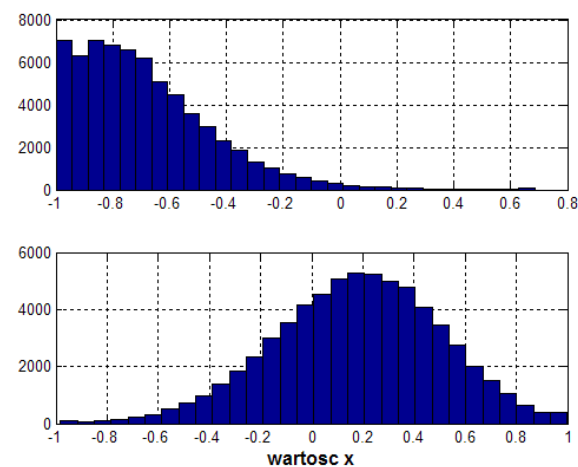


```
q=randn(1,N)/3; q(q>1)=1;
q(q<-1)=-1; p=acos(q);
...
x=cos(2*pi*f0*t-p(n));
```

Trzy realizacje procesu



Rozkłady (histogramy) dla dwóch przykładowych punktów t



Rozkłady łączne dla dwóch chwil czasu

Przyjmijmy następujące oznaczenia dla wartości procesu w dwóch chwilach t :

$$x_1 = x(t_1)$$

$$x_2 = x(t_2)$$

wtedy:

$$p_{t_1, t_2}(x_1, x_2)$$

$$\int_{-\infty}^{+\infty} \int_{-\infty}^{+\infty} p_{t_1, t_2}(x_1, x_2) dx_1 dx_2 = 1$$

to funkcja rozkładu gęstości prawdopodobieństwa
– łączna dla dwóch zmiennych losowych: x_1 i x_2 ,
określona dla wartości czasu t_1 i t_2 .

(Auto)korelacja procesu losowego

$$\begin{aligned}x_1 &= x(t_1) \\x_2 &= x(t_2)\end{aligned}$$

$$r_{\hat{x}}(t_1, t_2) = \int_{-\infty}^{+\infty} \int_{-\infty}^{+\infty} x_1 \cdot x_2 \cdot p_{t_1, t_2}(x_1, x_2) dx_1 dx_2$$

Ogólnie dla danego procesu jest to funkcja dwóch zmiennych (t_1 i t_2).

Wartość oczekiwana:

$$E[x(t)] = \int_{-\infty}^{+\infty} x \cdot p_t(x) dx$$

Średnia: $E[x(t)] = \mu_{\hat{x}}(t)$

Wariancja:
(odchylenie standardowe do kwadratu)

$$E[(x(t) - \mu_{\hat{x}}(t))^2] = \int_{-\infty}^{+\infty} (x - \mu_{\hat{x}}(t))^2 \cdot p_t(x) dx$$

$$E[(x(t) - \mu_{\hat{x}}(t))^2] = \sigma_{\hat{x}}^2(t)$$

Procesy stacjonarne i ergodyczne

Proces jest stacjonarny, gdy wszystkie jego parametry - zarówno rozkładu, jak i wzajemne zależności - nie zależą od czasu.

Proces jest stacjonarny w szerszym (mniej restrykcyjnym) sensie, gdy jego wartość oczekiwana oraz autokorelacja (kowariancja) nie zależą od czasu.

Proces jest ergodyczny, gdy jego parametry wyznaczone z pojedynczej realizacji (zwykle nieskończonej) są takie same jak dla dowolnej chwili czasu.

Procesem stacjonarnym, ale na pewno nie ergodycznym, jest np. sygnał stały, ale o losowej wartości początkowej (można założyć dowolny rozkład).

Procesem ergodycznym może być np. sygnał sinusoidalny o równomiernym rozkładzie fazy początkowej (warto sprawdzić, czy na pewno).

Ponadto są nimi sygnały tworzone przez generatory typu rand i randn.

Proces stacjonarny w szerszym sensie

Dla procesu stacjonarnego w szerszym sensie (inaczej: słabo stacjonarnego) wartość oczekiwana (średnia chwilowa)

$$E[x(t)] = \mu_{\hat{x}}(t) = \mu_{\hat{x}}$$

nie zależy od czasu.

Moc i energia procesu

Moc chwilowa procesu:

$$P_{\hat{x}}(t) = E[|x(t)|^2]$$

$$P_{\hat{x}}(t) = \sigma_{\hat{x}}^2(t) + \mu_{\hat{x}}^2(t)$$

Moc średnia procesu w czasie T :

$$P_{\hat{x}}(t_0, t_0 + T) = \frac{1}{T} \cdot \int_{t_0}^{t_0+T} P_{\hat{x}}(t) dt$$

Energia procesu w czasie T :

$$E_{\hat{x}}(t_0, t_0 + T) = \int_{t_0}^{t_0+T} P_{\hat{x}}(t) dt$$

Uwaga na trzy symbole: E , E oraz E .

Twierdzenie Wienera-Chinczyna

Dla procesu losowego, stacjonarnego co najmniej w szerszym sensie, widmowa gęstość mocy jest transformatą Fouriera autokorelacji procesu:

$$P_{\hat{x}}(f) = \int_{-\infty}^{+\infty} r_{\hat{x}}(t) \cdot e^{-j \cdot 2 \cdot \pi \cdot f \cdot t} dt$$

$$P_{\hat{x}}(\omega) = \int_{-\infty}^{+\infty} r_{\hat{x}}(t) \cdot e^{-j \cdot \omega \cdot t} dt$$

- 1. Widmowa gęstość mocy procesu jest nieujemną funkcją rzeczywistą.**
- 2. Dla procesów rzeczywistych jest to ponadto funkcja parzysta.**

Szum biały (kolorowy) gaussowski... Co to jest?

Korelacja dwóch sygnałów (deterministycznych)

$$R_{xy}(t) = \int_{-\infty}^{+\infty} x(\tau) \cdot \overline{y(\tau - t)} d\tau$$

Uwaga: nie dzielimy przez czas!

Druga wersja:

$$R_{xy}(t) = \int_{-\infty}^{+\infty} \overline{x(\tau)} \cdot y(\tau + t) d\tau$$

**Uwaga – korelacja to nie to samo co współczynnik korelacji
(gdzie jest unormowanie!).**

Czyli autokorelacja dla sygnału $x(t)$:

$$R_{xx}(t) = \int_{-\infty}^{+\infty} x(\tau) \cdot \overline{x(\tau - t)} d\tau$$

Uwaga: wyżej określona korelacja oraz autokorelacja to także sygnały.

Funkcja widmowej gęstości energii sygnału (deterministycznego)

$$R_{xx}(t) = \int_{-\infty}^{+\infty} x(\tau) \cdot \overline{x(\tau - t)} d\tau$$

$$E_x(f) = \int_{-\infty}^{+\infty} R_{xx}(t) \cdot e^{-j \cdot 2 \cdot \pi \cdot f \cdot t} dt$$

Ponieważ dla rzeczywistego sygnału $x(t)$:

$$\int_{-\infty}^{+\infty} x(\tau) \cdot x(\tau - t) d\tau \xrightleftharpoons[\text{ICFT}]{\text{CFT}} X(f) \cdot \overline{X(f)} = |X(f)|^2 = E_x(f)$$

Przemienność korelacji (?)

$$\int_{-\infty}^{+\infty} x(\tau) \cdot \overline{y(\tau - t)} d\tau \xrightarrow{CFT} X(f) \cdot \overline{Y(f)}$$

$$\xleftarrow{ICFT}$$

Przypomnijmy:

$$\overline{x(t)} \leftrightarrow \overline{X(-f)}$$

Czyli w ogólności korelacja (w obu wersjach) nie jest przemienna!

Może być przemienna jedynie dla sygnałów rzeczywistych parzystych, ponieważ wtedy widmo Fouriera jest rzeczywiste.

W drugiej wersji:

$$\int_{-\infty}^{+\infty} \overline{x(\tau)} \cdot y(\tau + t) d\tau \xrightarrow{CFT} \overline{X(f)} \cdot Y(f)$$

$$\xleftarrow{ICFT}$$

Filtracja sygnału o zadanej widmowej gęstości mocy lub energii

$$Y(f) = H(f) \cdot X(f) \qquad \overline{Y(f)} = \overline{H(f)} \cdot \overline{X(f)}$$

czyli:

$$Y(f) \cdot \overline{Y(f)} = H(f) \cdot \overline{H(f)} \cdot X(f) \cdot \overline{X(f)}$$

$$|Y(f)|^2 = |H(f)|^2 \cdot |X(f)|^2$$

Zatem dla funkcji widmowej gęstości energii:

$$E_y(f) = |H(f)|^2 \cdot E_x(f)$$

Dla procesu losowego:

$$E_{\hat{y}}(f) = |H(f)|^2 \cdot E_{\hat{x}}(f)$$

Podobnie dla funkcji widmowej gęstości mocy:

$$P_y(f) = |H(f)|^2 \cdot P_x(f)$$

$$P_{\hat{y}}(f) = |H(f)|^2 \cdot P_{\hat{x}}(f)$$

Modulacja amplitudy

Modulacja dwuwstęgowa z falą nośną:

$$y(t) = A \cdot [1 + m \cdot x(t)] \cdot \cos(2 \cdot \pi \cdot f_0 \cdot t + \varphi_0)$$

$$0 < m < 1$$

Dla: $\varphi_0 = 0$

$$y(t) = A \cdot [1 + m \cdot x(t)] \cdot \cos(2 \cdot \pi \cdot f_0 \cdot t)$$

Zatem:

$$y(t) = A \cdot \cos(2 \cdot \pi \cdot f_0 \cdot t) + A \cdot m \cdot x(t) \cdot \cos(2 \cdot \pi \cdot f_0 \cdot t)$$

... i w dziedzinie Fouriera:

$$Y(f) = \frac{A}{2} \cdot (\delta(f + f_0) + \delta(f - f_0)) + \frac{A \cdot m}{2} \cdot X(f - f_0) + \frac{A \cdot m}{2} \cdot X(f + f_0)$$

Modulacja amplitudy

Modulacja dwuwstęgowa bez fali nośnej:

$$y(t) = A \cdot x(t) \cdot \cos(2 \cdot \pi \cdot f_0 \cdot t + \varphi_0)$$

Często przyjmuje się, że: $\varphi_0 = 0$

wtedy:

$$Y(f) = \frac{A}{2} \cdot \int_{-\infty}^{+\infty} x(t) \cdot \left(e^{j \cdot 2 \cdot \pi \cdot (f_0 - f) \cdot t} + e^{-j \cdot 2 \cdot \pi \cdot (f_0 + f) \cdot t} \right) dt$$

Zatem ostatecznie w dziedzinie Fouriera:

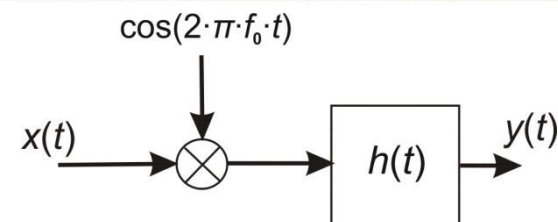
$$Y(f) = \frac{A}{2} \cdot X(f - f_0) + \frac{A}{2} \cdot X(f + f_0)$$

Modulacja amplitudy

Modulacja dwuwstęgowa bez fali nośnej

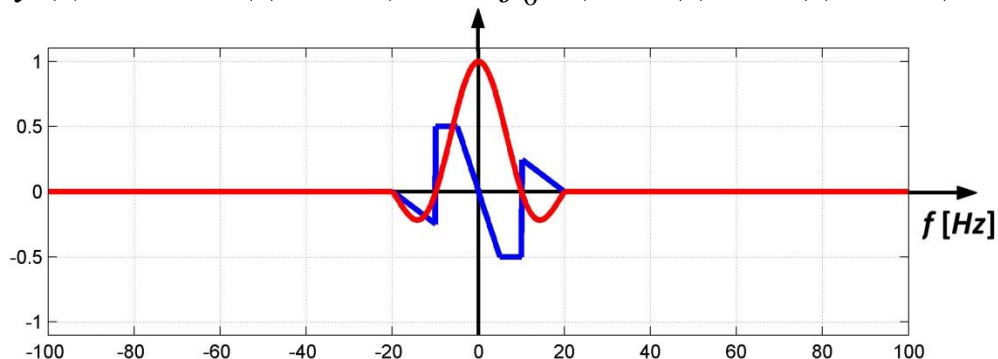
W tym przypadku przyjmujemy: $h(t) = \delta(t)$

czyli: $H(f) = 1$

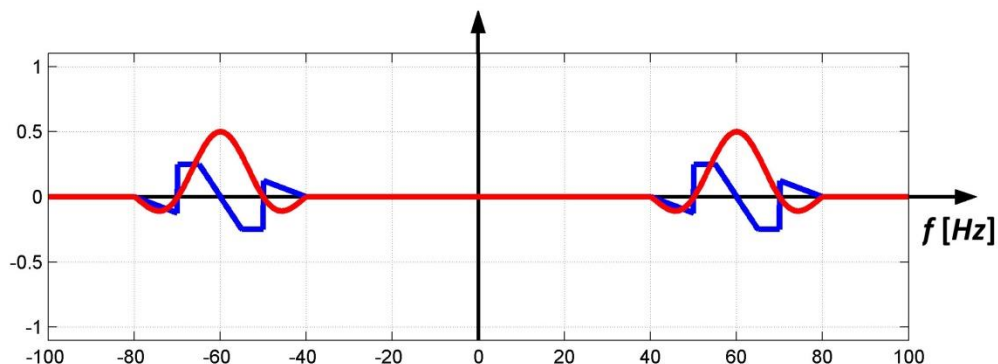


$$y(t) = x(t) \cdot \cos(2 \cdot \pi \cdot f_0 \cdot t) * \delta(t) = x(t) \cdot \cos(2 \cdot \pi \cdot f_0 \cdot t)$$

Widmo
rzeczywiste
i urojone dla $x(t)$



Widmo
rzeczywiste
i urojone dla $y(t)$



Modulacja amplitudy

Modulacja jednowstęgowa

W tym przypadku przyjmujemy (a):

$$H(f) = 1 - \Pi\left(\frac{f}{2 \cdot f_0}\right)$$

czyli:

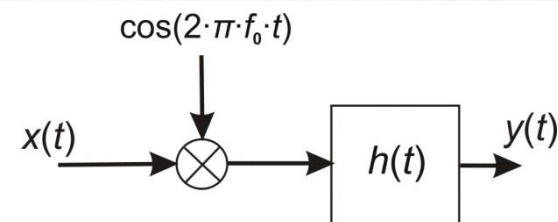
$$h(t) = \delta(t) - 2 \cdot f_0 \cdot \text{sinc}(2 \cdot \pi \cdot f_0 \cdot t)$$

albo (b):

$$H(f) = \Pi\left(\frac{f}{2 \cdot f_0}\right)$$

i wtedy:

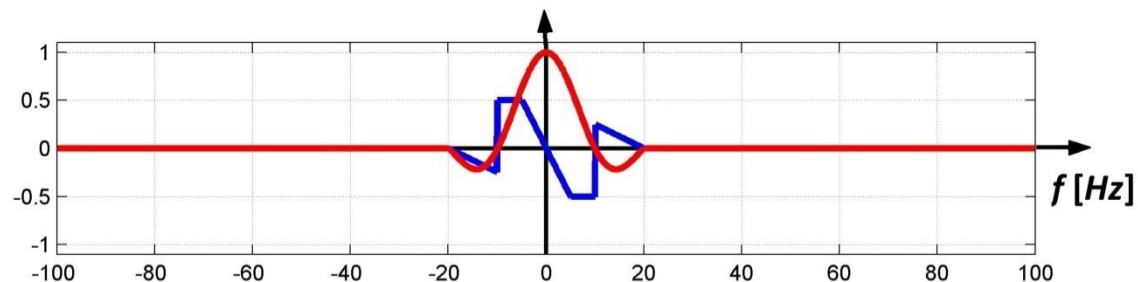
$$h(t) = 2 \cdot f_0 \cdot \text{sinc}(2 \cdot \pi \cdot f_0 \cdot t)$$



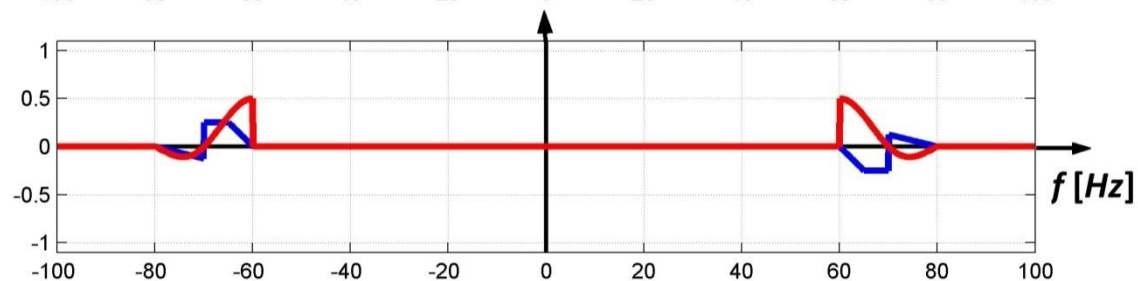
Modulacja amplitudy

Modulacja jednowstęgowa

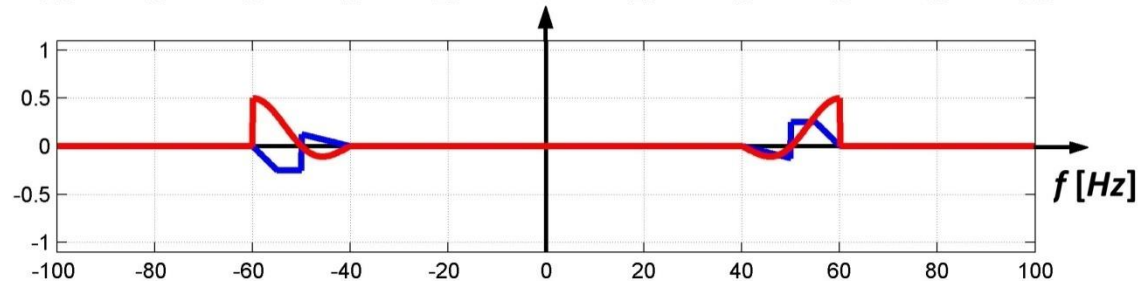
Widmo
 rzeczywiste
 i urojone dla $x(t)$



Widmo
 rzeczywiste
 i urojone dla $y(t)$
 - wariant (a)



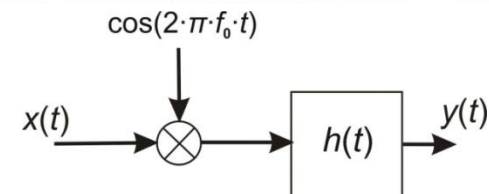
Widmo
 rzeczywiste
 i urojone dla $y(t)$
 - wariant (b)



Modulacja amplitudy

Modulacja jednowstęgowa

$$y(t) = h(t) * [x(t) \cdot \cos(2 \cdot \pi \cdot f_0 \cdot t)] = \text{podstawmy wariant (a)}$$



$$= [\delta(t) - 2 \cdot f_0 \cdot \text{sinc}(2 \cdot \pi \cdot f_0 \cdot t)] * [x(t) \cdot \cos(2 \cdot \pi \cdot f_0 \cdot t)] =$$

$$= x(t) \cdot \cos(2 \cdot \pi \cdot f_0 \cdot t) - \left[\frac{1}{2} \cdot x^H(t) \cdot \sin(2 \cdot \pi \cdot f_0 \cdot t) + \frac{1}{2} \cdot x(t) \cdot \cos(2 \cdot \pi \cdot f_0 \cdot t) \right]$$

$$y(t) = \frac{1}{2} \cdot x(t) \cdot \cos(2 \cdot \pi \cdot f_0 \cdot t) - \frac{1}{2} \cdot x^H(t) \cdot \sin(2 \cdot \pi \cdot f_0 \cdot t)$$

Gdyby przyjąć filtr (b):

$$H(f) = \Pi\left(\frac{f}{2 \cdot f_0}\right)$$

$$X^H(f) = -j \cdot \text{sgn}(f) \cdot X(f)$$

to otrzymalibyśmy:

$$y(t) = \frac{1}{2} \cdot x(t) \cdot \cos(2 \cdot \pi \cdot f_0 \cdot t) + \frac{1}{2} \cdot x^H(t) \cdot \sin(2 \cdot \pi \cdot f_0 \cdot t)$$

Modulacja fazy

Sygnał zmodulowany:

$$y(t) = \cos(\varphi(t))$$

$$y(t) = \cos(2 \cdot \pi \cdot f_0 \cdot t + \varphi_0 + x(t) \cdot P)$$

Modulacja ta jest nieliniowa!

$$P \in (0, 2 \cdot \pi)$$

Przykładowo dla sygnału dwustanowego (*ang. PSK*):

Phase Shift Keying

$$x(t) = \sum_{n=n_0}^{+\infty} a_n \cdot \Pi\left(\frac{t - n \cdot T}{T}\right)$$

$$a_n \in \{0, 1\}$$

Modulacja fazy

Przykład PSK:

dla $P=n$

$$x(t) = \sum_{n=0}^{+\infty} a_n \cdot \Pi\left(\frac{t - n \cdot T}{T}\right)$$
$$a_n \in \{0,1\}$$

Metoda bezpośrednia:

$$y_0(t) = \cos(2 \cdot \pi \cdot f_0 \cdot t + \varphi_0)$$

$$y_1(t) = \cos(2 \cdot \pi \cdot f_0 \cdot t + \varphi_0 + \pi)$$

Czyli jak to zapisać?

Metoda różnicowa:

$$x_d(t) = \sum_{n=n_0}^{+\infty} b_n \cdot \Pi\left(\frac{t - n \cdot T}{T}\right)$$
$$b_n \in \{0,1\}$$

$$b_n = \begin{cases} 1 & \text{dla } a_n \neq a_{n-1} \\ 0 & \text{dla } a_n = a_{n-1} \end{cases}$$

Często przyjmuje się:

$$\varphi_0 = 0$$

Modulacja fazy

Przykład *PSK*:

Rozważmy następujący sygnał:

$$x(t) = \sum_{n=-\infty}^{+\infty} a_n \cdot \Pi\left(\frac{t - n \cdot T - 1/2}{T}\right)$$
$$a_n \in \{0,1\}$$

Zakładając dodatkowo, że:

$$a_n = \begin{cases} 1 & \text{dla } n \geq 0 \\ 0 & \text{dla } n < 0 \end{cases}$$

W takim przypadku sygnał zmodulowany może być opisany następująco:

$$y(t) = u(t) \cdot \cos(2 \cdot \pi \cdot f_0 \cdot t + \pi) + u(-t) \cdot \cos(2 \cdot \pi \cdot f_0 \cdot t)$$

Modulacja fazy

Kontynuacja przykładu:

$$y(t) = u(t) \cdot \cos(2 \cdot \pi \cdot f_0 \cdot t + \pi) + u(-t) \cdot \cos(2 \cdot \pi \cdot f_0 \cdot t)$$

$$\cos(2 \cdot \pi \cdot f_0 \cdot t + \pi) = \cos\left(2 \cdot \pi \cdot f_0 \cdot \left(t + \frac{\pi}{2 \cdot \pi \cdot f_0}\right)\right) \Rightarrow t_0 = -\frac{\pi}{2 \cdot \pi \cdot f_0}$$

$$Y(f) = U(f) * \left[\frac{1}{2} \cdot (\delta(f + f_0) + \delta(f - f_0)) \cdot e^{+j \cdot \pi} \right] + U(-f) * \left[\frac{1}{2} \cdot (\delta(f + f_0) + \delta(f - f_0)) \right]$$

$$U(f) = \frac{1}{2} \cdot \delta(f) - j \cdot \frac{1}{2 \cdot \pi \cdot f}$$

$$e^{+j \cdot \pi} = e^{-j \cdot \pi} = -1$$

$$\begin{aligned} Y(f) &= -\frac{1}{4} \cdot (\delta(f + f_0) + \delta(f - f_0)) + j \cdot \left(\frac{1}{4 \cdot \pi \cdot (f + f_0)} + \frac{1}{4 \cdot \pi \cdot (f - f_0)} \right) + \\ &+ \frac{1}{4} \cdot (\delta(f + f_0) + \delta(f - f_0)) + j \cdot \left(\frac{1}{4 \cdot \pi \cdot (f + f_0)} + \frac{1}{4 \cdot \pi \cdot (f - f_0)} \right) = \\ &= j \cdot \left(\frac{1}{2 \cdot \pi \cdot (f + f_0)} + \frac{1}{2 \cdot \pi \cdot (f - f_0)} \right) \end{aligned}$$

Modulacja fazy

**Kontynuacja przykładu:
(inny sposób wyliczenia widma)**

$$y(t) = u(t) \cdot \cos(2 \cdot \pi \cdot f_0 \cdot t + \pi) + u(-t) \cdot \cos(2 \cdot \pi \cdot f_0 \cdot t)$$

$$y(t) = -\operatorname{sgn}(t) \cdot \cos(2 \cdot \pi \cdot f_0 \cdot t)$$

$$Y(f) = -\left[-j \cdot \frac{1}{\pi \cdot f}\right] * \left[\frac{1}{2} \cdot (\delta(f + f_0) + \delta(f - f_0))\right] = j \cdot \left[\frac{1}{2 \cdot \pi \cdot (f + f_0)} + \frac{1}{2 \cdot \pi \cdot (f - f_0)}\right]$$

Jak widać, w widmie nie ma częstotliwości nośnej!

Modulacja fazy

Jeszcze jedno spojrzenie na *PSK* z dwustanowym sygnałem prostokątnym:

$$x(t) = \sum_{n=-\infty}^{+\infty} a_n \cdot \Pi\left(\frac{t-n \cdot T}{T}\right)$$
$$a_n \in \{0,1\}$$

Oznaczmy przez A zbiór indeksów n , dla których $a_n=1$, wtedy możemy wprowadzić dwa sygnały pomocnicze:

$$x_1(t) = \sum_{k \in A} \Pi\left(\frac{t-k \cdot T}{T}\right) = x(t)$$

$$x_2(t) = \sum_{k \notin A} \Pi\left(\frac{t-k \cdot T}{T}\right) = 1 - x(t)$$

Zatem sygnał zmodulowany:

$$y(t) = \cos(2 \cdot \pi \cdot f_0 \cdot t + \pi) \cdot x(t) + \cos(2 \cdot \pi \cdot f_0 \cdot t) \cdot (1 - x(t))$$

... można go zatem zinterpretować jako sumę dwóch sygnałów, których nośne różnią się fazą o π , zmodulowanych amplitudowo:

$$y(t) = y_1(t) + y_2(t)$$

Ta interpretacja umożliwia wyciąganie wniosków, co do widma sygnału zmodulowanego *PSK*.

Modulacja częstotliwości

Sygnał zmodulowany:

$$y(t) = \cos(\varphi(t))$$

$$2 \cdot \pi \cdot f(t) = \frac{d}{dt} \varphi(t) = 2 \cdot \pi \cdot f_0 + 2 \cdot \pi \cdot K \cdot x(t) = 2 \cdot \pi \cdot (f_0 + K \cdot x(t))$$

$$y(t) = \cos \left(2 \cdot \pi \cdot (f_0 \cdot t + K \cdot \int_0^t x(\tau) d\tau) + \varphi_0 \right)$$

$$\varphi_0 = 0$$

$$f(t) = \frac{1}{2 \cdot \pi} \cdot \frac{d}{dt} \varphi(t) = f_0 + K \cdot x(t)$$

Modulacja ta jest nieliniowa!

Modulacja częstotliwości

Przykład (*ang. FSK*):

Frequency Shift Keying

$$x(t) = \sum_{n=-\infty}^{+\infty} a_n \cdot \Pi\left(\frac{t-n \cdot T}{T}\right)$$
$$a_n = \pm 1$$

Dla $a_n = +1$, $K = \Delta f$ (dewiacja częstotliwości):

$$y_{+1}(t) = \cos(2 \cdot \pi \cdot (f_0 + \Delta f) \cdot t)$$

Dla $a_n = -1$, $K = \Delta f$:

$$y_{-1}(t) = \cos(2 \cdot \pi \cdot (f_0 - \Delta f) \cdot t)$$

Widmo lokalne zawiera tylko te dwie częstotliwości:

$$f_G = f_0 + \Delta f$$

$$f_D = f_0 - \Delta f$$

Modulacja częstotliwości

Jeszcze jedno spojrzenie na *FSK* z dwustanowym sygnałem prostokątnym:

$$x(t) = \sum_{n=-\infty}^{+\infty} a_n \cdot \Pi\left(\frac{t-n \cdot T}{T}\right)$$
$$a_n \in \{-1, 1\}$$

Oznaczmy przez **A** zbiór indeksów n , dla których $a_n=1$ oraz
przez **B** zbiór indeksów, dla których $a_n=-1$, wtedy:

$$x_1(t) = \sum_{k \in \mathbf{A}} \Pi\left(\frac{t-k \cdot T}{T}\right)$$

$$x_2(t) = \sum_{k \in \mathbf{B}} \Pi\left(\frac{t-k \cdot T}{T}\right)$$

Zatem sygnał zmodulowany:

$$y(t) = \cos(2 \cdot \pi \cdot (f_0 + \Delta f) \cdot t) \cdot x_1(t) + \cos(2 \cdot \pi \cdot (f_0 - \Delta f) \cdot t) \cdot x_2(t)$$

... można go zatem zinterpretować jako sumę dwóch sygnałów
zmodulowanych amplitudowo:

$$y(t) = y_1(t) + y_2(t)$$

Ta interpretacja umożliwia wyciąganie wniosków, co do widma sygnału
zmodulowanego *FSK*.

***Zapraszam na ćwiczenia ...
lub do laboratorium...***